

## 生物医学工程

Biomedical Engineering (BME)

川北医学院 医学影像学院



## 本章内容

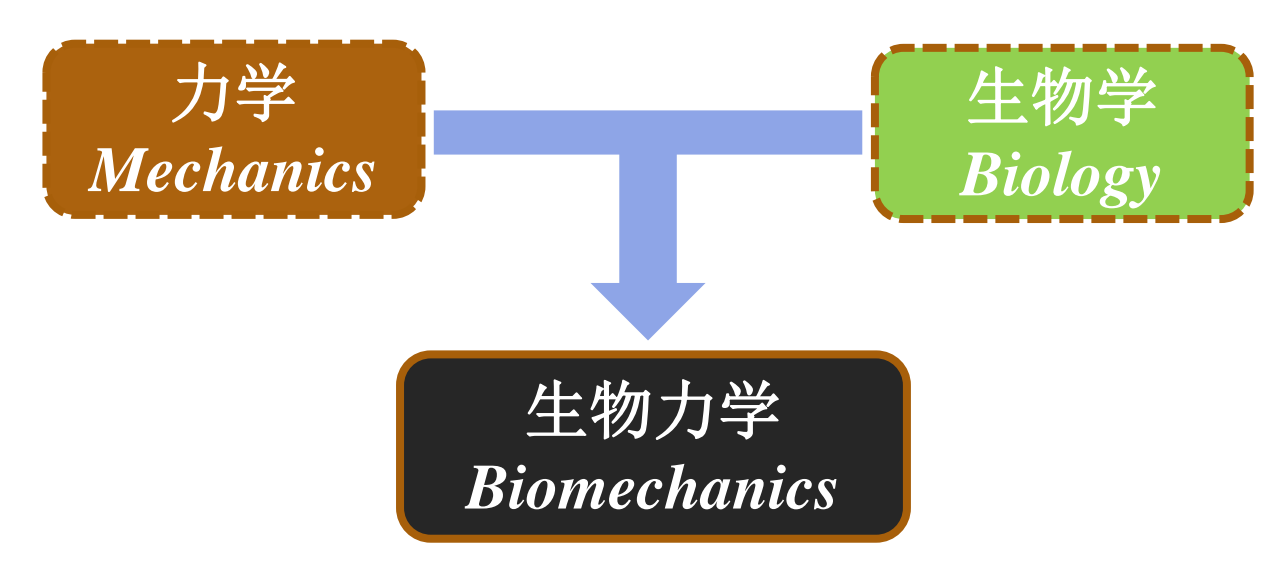
- 1. 概述
- 2. 软组织的力学性质
- 3. 骨的力学性质
- 4. 血液的流动性质
- 5. 心脏、动脉和静脉中的血液动力学

## 第1节 概述

- 1.1 生物力学的概念
- 1.2 生物力学的发展概况
- 1.3 生物力学的研究内容
- 1.4 生物力学的研究方法
- 1.5 生物力学对保健事业的贡献

### 1.1生物力学的概念

- ●力学:研究物体变形和运动的科学。
- ●生物学:研究生命的生长和衰亡的科学。



应用力学的原理和方法研究生物体中的力学问题的科学

### 1.1 生物力学的概念

- ●生物力学是力学、生物学、解剖学等学科之间相互渗透的边缘科学,它将这些学科的基本原理和方法有机地结合起来,同时它还广泛应用了物理学、应用数学的概念和方法。
- ●学科间彼此渗透、相互交叉、紧密联系的特点。

●伽利略•卡里勒(1564-1642)

曾是医学专业学生, 用单摆度量人的心率

●威廉•哈维(1578-1658)

证明了血液流动的单向性,提出了血液循环的概念

●雷内•笛卡儿(1596-1650)

发现因身体暴露而减轻体重, 奠定了新陈代谢研究的基础

•G. A. Borelli (1608-1679)

意大利数学家、天文学家和医学家,第一个推导出 天体以椭圆路径运动的原因,其专著《论动物的运动》, 阐明了肌肉的运动和身体的动力学问题,研究了鸟的飞 行,鱼的游动,和心脏和肠的运动。

•Robert Boyle (1627-1691)

研究了肺,阐述了水中的气体与鱼类呼吸的关系。

●罗伯特•虎克(1635-1703)

虎克定律,细胞。

S. Hales (1677-1761)

测量了马的动脉血压和动脉血管的膨胀特性。 提出了血液流动的外周阻力的概念。

●莱昂哈得•欧拉(1707-1783)

提出了脉搏波传播方程。

Jean Poiseuille (1799-1869)

医学专业学生,创造了用水银压力计测量狗的主动脉血压的方法,发现了粘性流的Poiseuille定律。

### ●赫尔姆霍茨(1821-1894)

生物工程之父。能量守恒定律; 眼的聚焦机理, 彩色视觉的三色理论; 听觉的机理, Helmholtz共振仪; 涡量守恒定理, 流体力学的基础; 第一次确定了神经脉冲的传播速度为30米/秒。

### O. Frank (1889-1980)

1899年提出了关于动脉系统功能的"风箱" (Windkessel) 模型。

**E.** H. Starling(1866-1927)

通过毛细血管壁的水分的输运,提出了著名的 Starling定律。

•A. Krogh (1874-1949)

建立了微循环的力学模型,并因此而获诺贝尔奖。

•A. V. Hill (1886-1977)

关于肌肉收缩规律的研究。通过蛙缝匠肌挛缩实验,建立了骨胳肌的功能模型。这一创造性的工作使Hill 荣获诺贝尔奖。而且,一直到目前为止,Hill 模型依然是肌

## 1.3 生物力学的研究内容

### 分类I:

●生物固体力学

骨,口腔,软组织等

- ●生物流体力学
  - 血液,组织液等
- ●生物材料力学
- ●运动生物力学

多刚体,体育,步态等

#### 分类II:

- ●心血管血流动力学
- 骨及软组织生物力学
- 口腔生物力学
- 细胞力学
- 康复工程中的生物力学

### 1.3.1 生物固体力学

从力学的角度(材料力学、弹塑性理论和断裂力学的基本理论和方法),研究各种组织、器官乃至整个系统的形状、结构及其功能之间的关系。人体的牙齿、骨骼、关节、脊柱和软骨的力学性能。



### 1.3.2 生物流体力学

研究生物体中的流动规律以及生物体在其他<u>流体介</u> 质中的运动规律。

心血管系统、消化呼吸系统、泌尿系统、内分泌等。

游泳、飞行等与水动力学、空气动力学、边界层理论和流变学。

### 1.3.3 生物材料力学

研究组成生物体的<u>材料</u>所具有的力学特性。主要是 用生物材料制作的各种人工脏器。

如:人工牙的材料有金属材料、无机非金属材料、高分子材料--聚甲基丙烯酸甲酯

### 1.3.4 运动生物力学

- ●生物体力和运动关系的力学。
- ●人体由于力的作用而产生的<u>位移、位移的速度和加速度</u>。 宇航员能承受的超重、失重 冲击、振动的能力进行估计。 运动力学的原理分析运动的过程,可以在体育运动中采 取合理的训练方法,设计新颖而科学的动作

### 1.3.4 运动生物力学

●起跑姿势 挑战人体极限

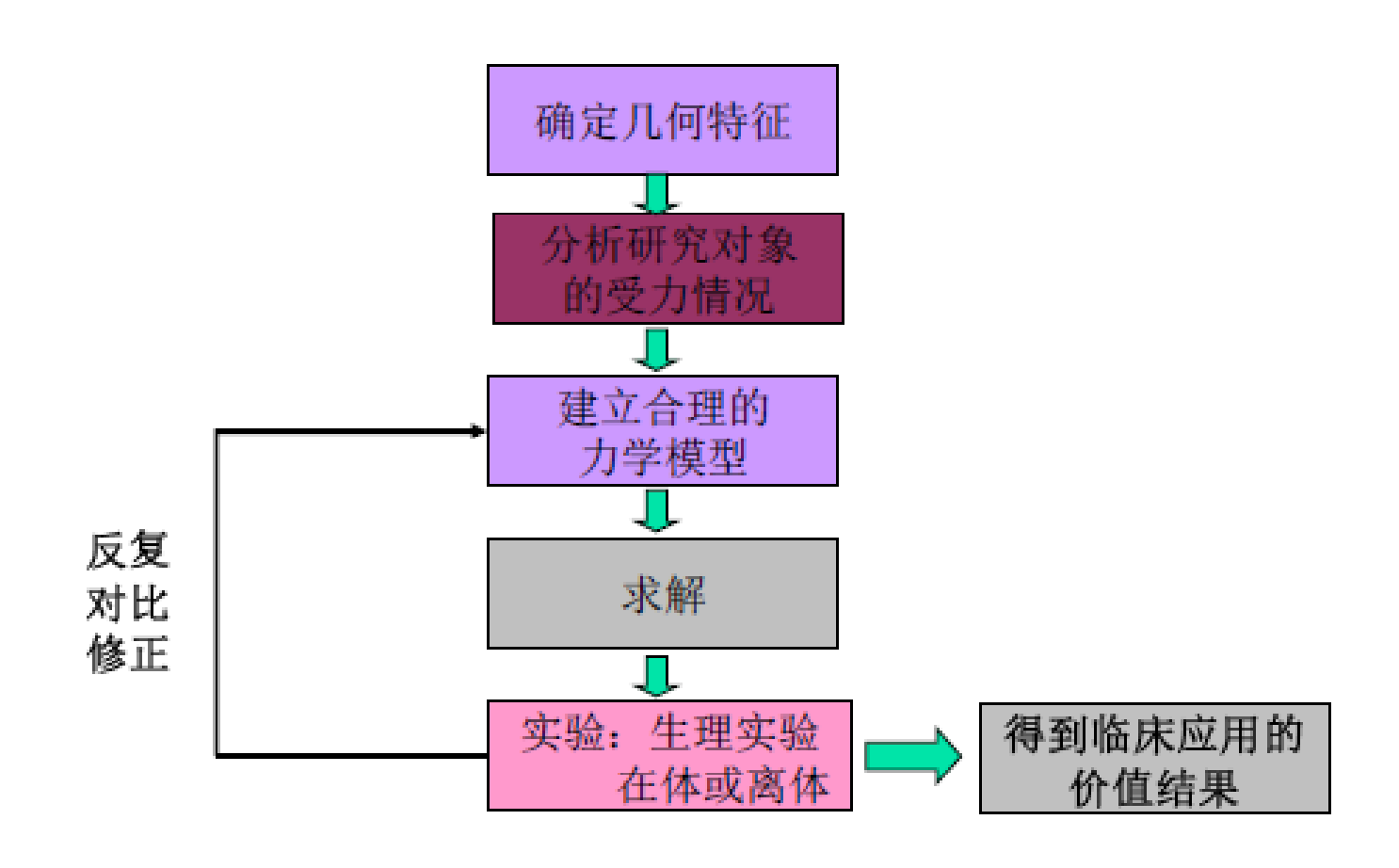
蹲踞式起跑的水平支撑反作用力比较大,而站立式相对较小。蹲踞式起跑时获得水平后蹬力要大于站立式起跑的水平后蹬力。

蹲踞式起跑可以使加速过程缩短, 在比较短的时间内让运动员获得较快的速度。

### 1.4生物力学的研究方法

- ●应用解剖学确定研究对象的几何特征;
- ●应用材料力学的方法,确定研究对象的力学特性,给定本构关系(组织材料的变形和引起变形的力之间的函数关系,是材料的固有力学特性);
- ●建立力学模型,导出微分方程或微分一积分方程;
- ●给出解(解析、数值、近似解等);
- ●建立相应的实验方案,进行在体、离体实验;
- ●反复对比修正,以期得到有临床价值的结果。

### 1.4生物力学的研究方法



# 1.5生物力学对保健事业的贡献

生物力学是在全身疾病及对延长寿命方面进行的研究和取得的成果。

- ●生理学: (促进了生理学的进一步发展)
- (1) 循环系统:是研究分子、细胞膜、细胞、单一微血管、微血管网络、大动脉、器官和系统。研究的微血管血液动力学进行测量,如微血管内径、血管内红细胞速度。对微循环现象的发现和认识都有助于心血管疾病的诊断、治疗和预防,是生物力学对人类保健事业的一大贡献
  - (2) 呼吸力学: 设计呼吸机

# 1.5生物力学对保健事业的贡献

#### ●外科学:

骨伤科,骨的生长和愈合与骨的力学环境有密切关系。 外科手术。

●人工器官: 骨科、心脏科

●运动力学: 竞技体育

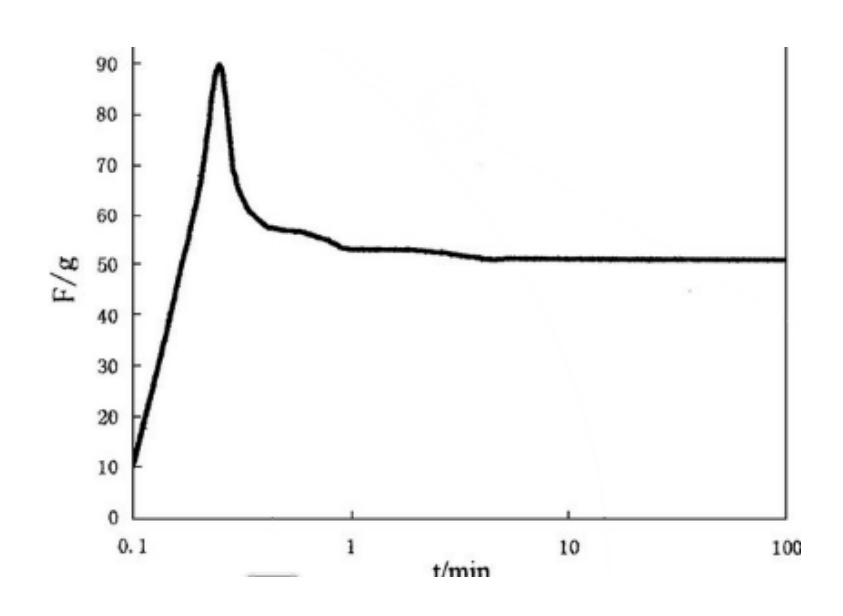
## 第2节 软组织的力学性质

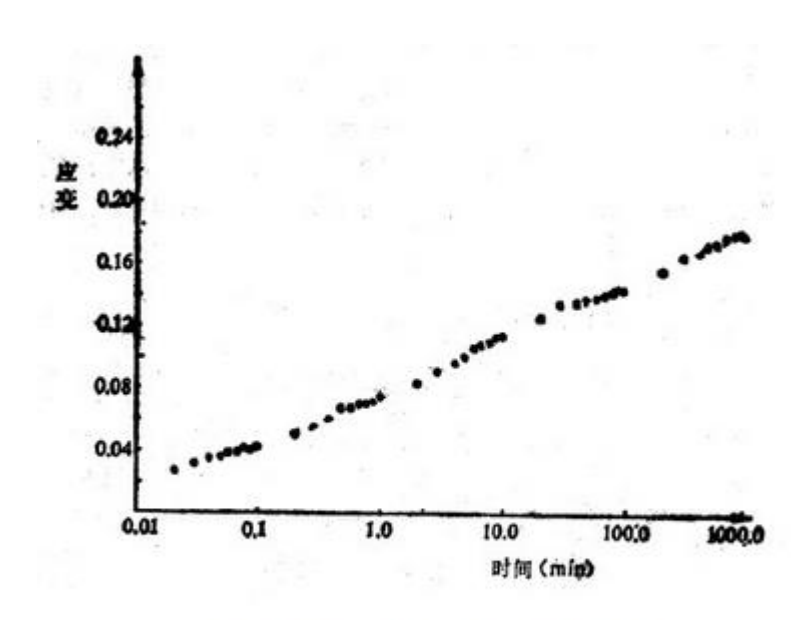
- 2.1 软组织的材料特性
- 2.2 血管的力学性质
- 2.3 肌肉的力学性质

- ●软组织是由各种具有特定功能的细胞、弹性纤维、胶原纤维、平滑肌和基质等构成的具有一定空间构形的复合体。(如血管、气管、肌肉和皮肤等)
- ●软组织的力学性质主要取决于其各组分的力学性质,绝大多数具有<u>粘弹性</u>,这种粘弹性主要来源于<u>胶原纤维和平滑肌</u>。

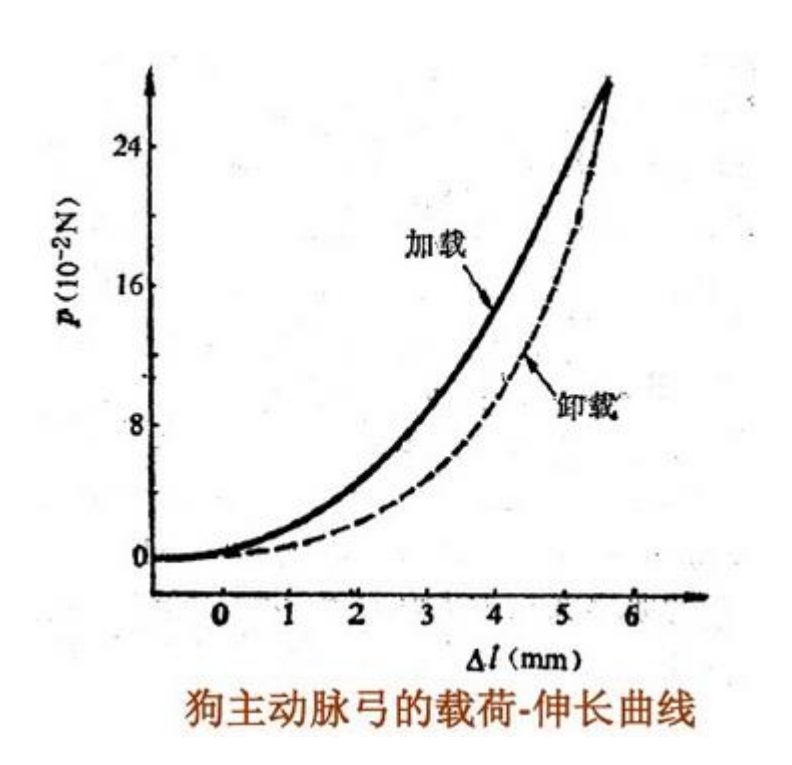
### 黏弹性的三个特点

- ●应力松弛(stress relaxation): 瞬间将物体拉伸一长度, 而后观察其力的变化。
- ●蠕变(creep): 瞬间施加一力到物体,并观察该物体长度的变化。
- ●滞后(hysteresis): 周期性的加载和卸载过程中,加载和卸载时应力应变曲线不重合。





兔心脏乳突肌蠕变曲线



- ●拟弹性: 软组织的应力应变关系特性和金属材料的塑性 特性有所不同,完全消除载荷并经过一段时间后,能够 恢复到原有形状而无明显残余变形。
- ●多次循环加载和卸载循环后,加载和卸载曲线间的差别 越来越小。
- ●软组织的力学性质个体差异性较大,随着动物种类、年龄、经历等多因素而变化,还随着功能的需要变化。

- ●血管组成的材料、结构
  - ◆结构为多层复合、中空的管道。
  - ◆血管壁

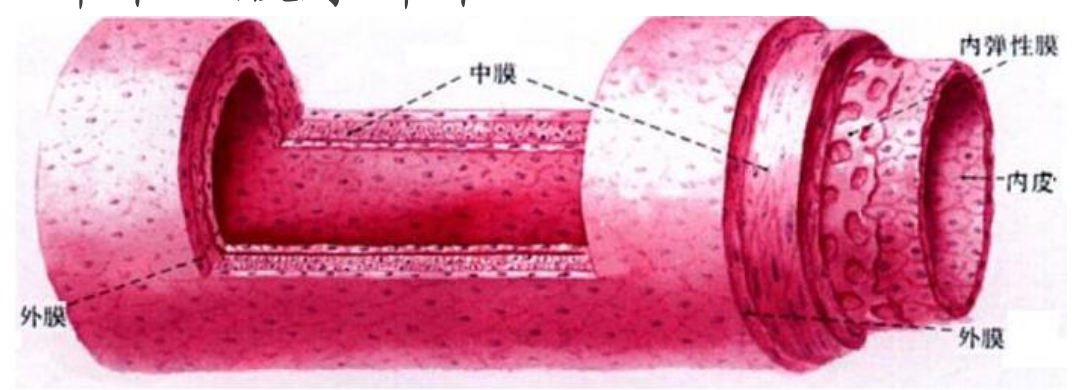
内层——内皮细胞、基质膜

中层——弹性纤维、胶原纤维、

平滑肌

外层---

松散的结缔组织



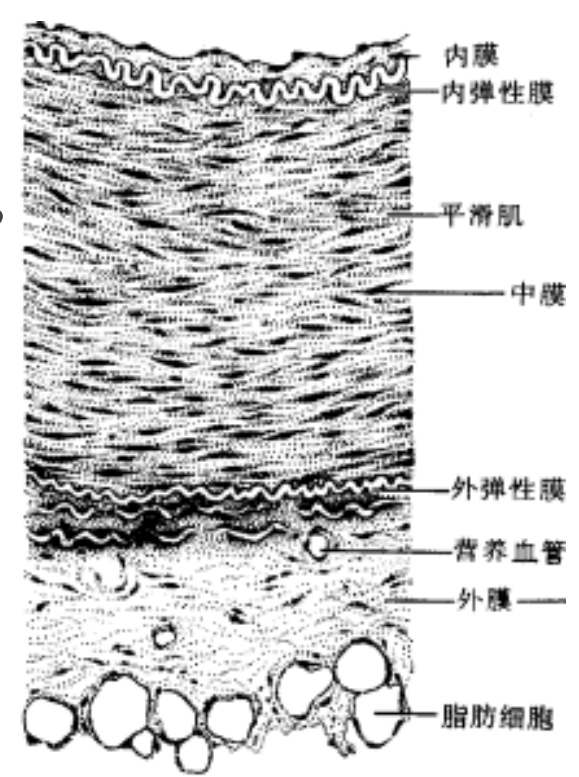
血管的力学性质

主要取决于中层

●血管组成的材料、结构

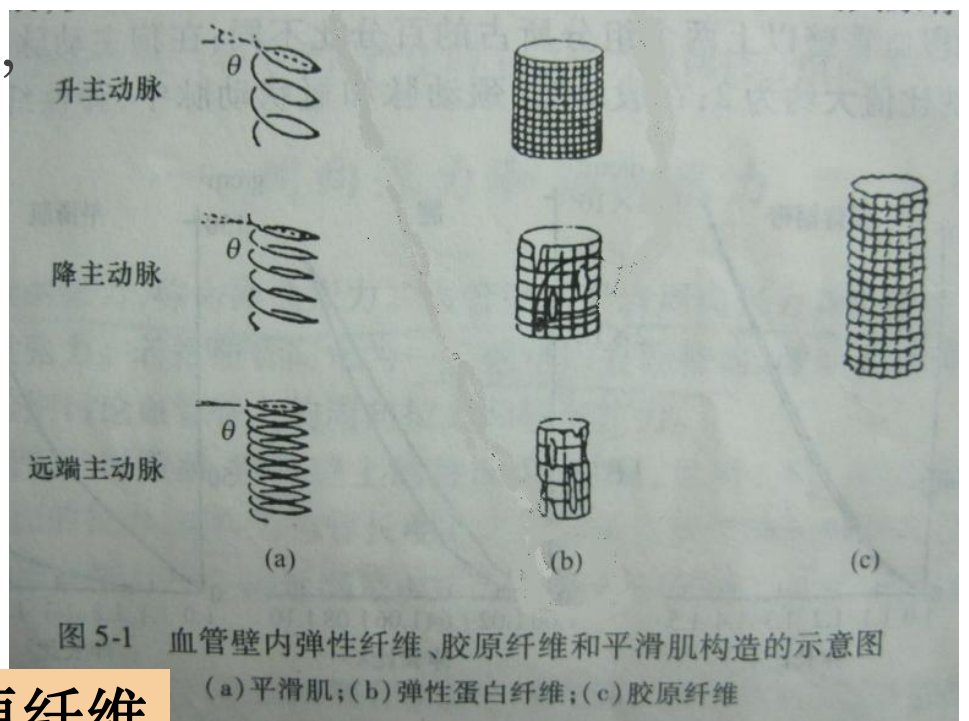
### ◆中膜

位于血管中层。因血管种类不同,它的厚度和成分也不一样。大动脉血管以弹性膜为主。



- ●弹性纤维、胶原纤维、平滑肌的空间结构
  - ◆弹性纤维-存在裂隙
  - ◆胶原纤维-皱成波纹状网络
  - ◆平滑肌-螺旋状结构

- 弹性纤维、胶原纤维、平滑肌的空间结构
- ◆弹性纤维-网状结构, 存在裂隙
- ◆胶原纤维-皱成波纹 状网络结构
- ◆平滑肌-螺旋状结构

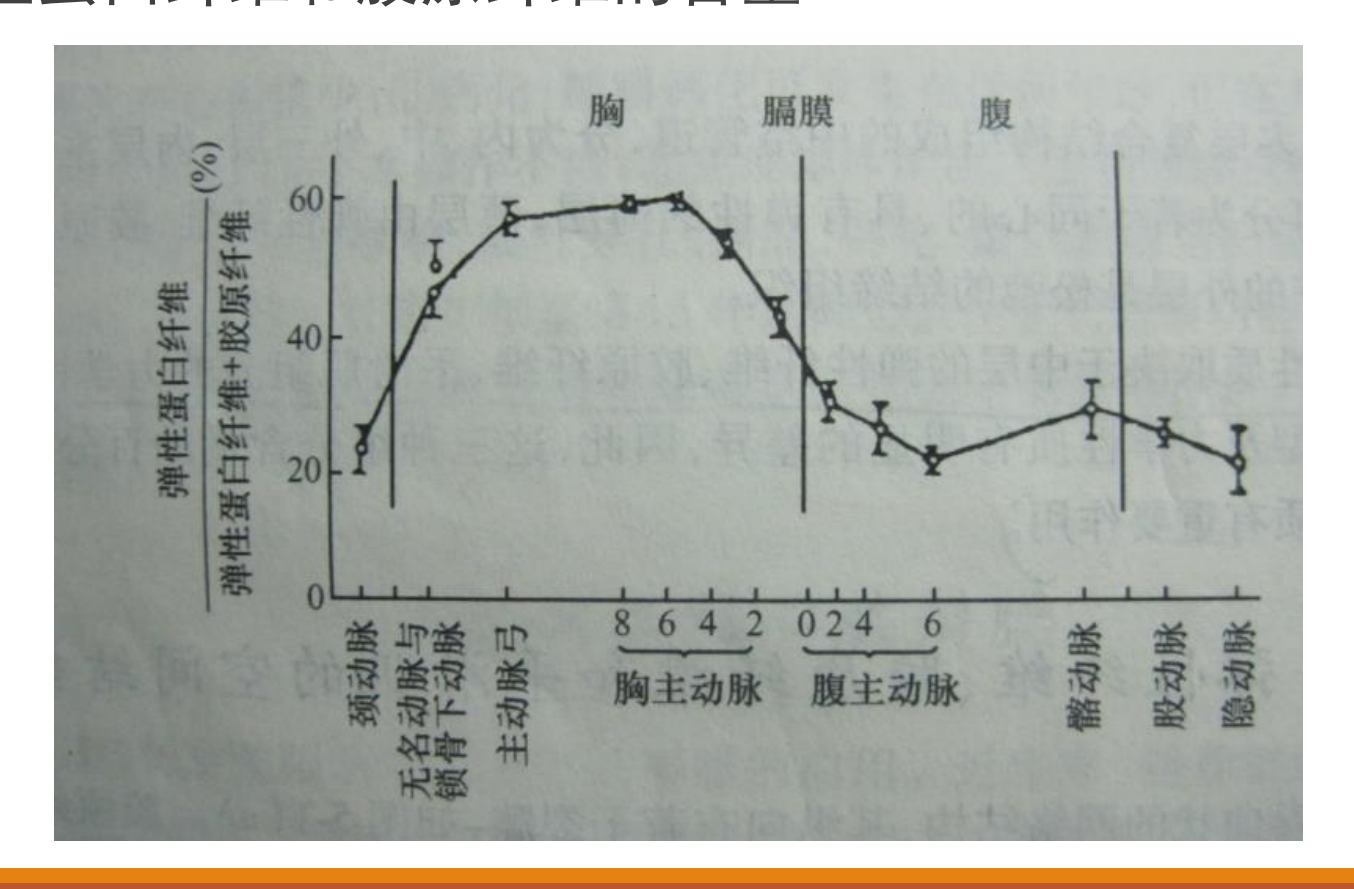


平滑肌<弹性纤维<胶原纤维

低应力下承载的主要是弹性纤维和平滑肌,高应力下主要的承载体是胶原纤维。

- ●胶原纤维
  - ◆血管一般扩张压: 不伸展
  - ◆血管扩张一定程度:伸展到原有长度产生张力
  - ◆继续扩张:产生极大张力,阻碍血管进一步扩张

• 弹性蛋白纤维和胶原纤维的含量



- ●具有软组织的一般特性:应力松弛、蠕变、滞后等粘弹性。 性。
- 弹性模量随载荷或变形量的增加而加大。
- ●各向异性材料,周向抗载荷能力比轴向要强。

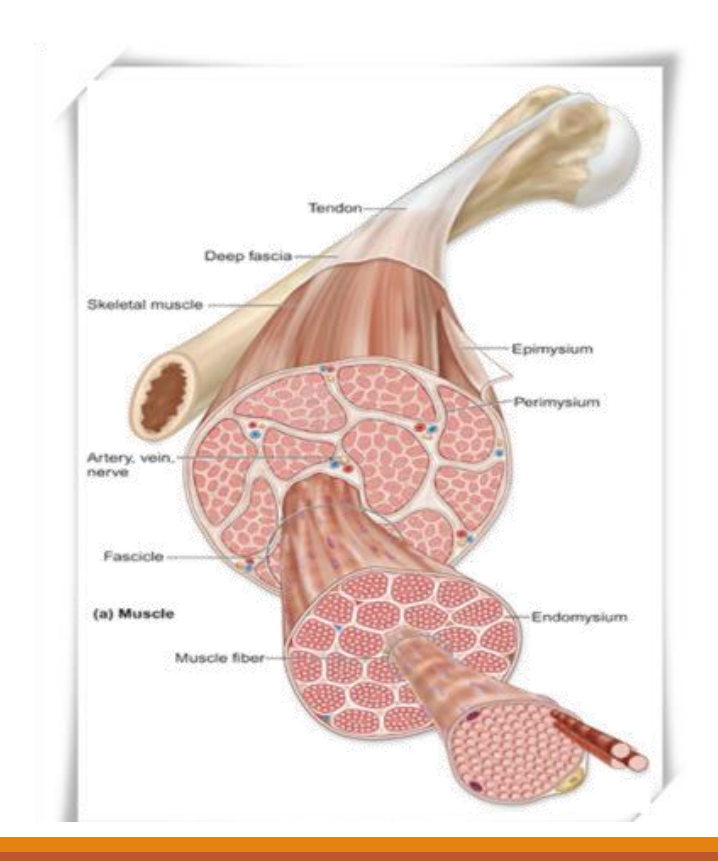
### 2.3 肌肉的力学性质

- ●肌肉组织的肌细胞呈细丝状,称为肌纤维,其特征是能将化学能转变为机械能,使肌纤维缩短,产生收缩,以保证机体的各种运动。动物的肌肉分为3类:
  - ◆骨骼肌 (横纹肌)
  - ◆心 肌 (横纹肌)
  - ◆平滑肌

三类肌肉组织组成成分相同,收缩的生化机理相似, 但在结构、功能和力学性质上有许多差异。

●骨骼肌结构

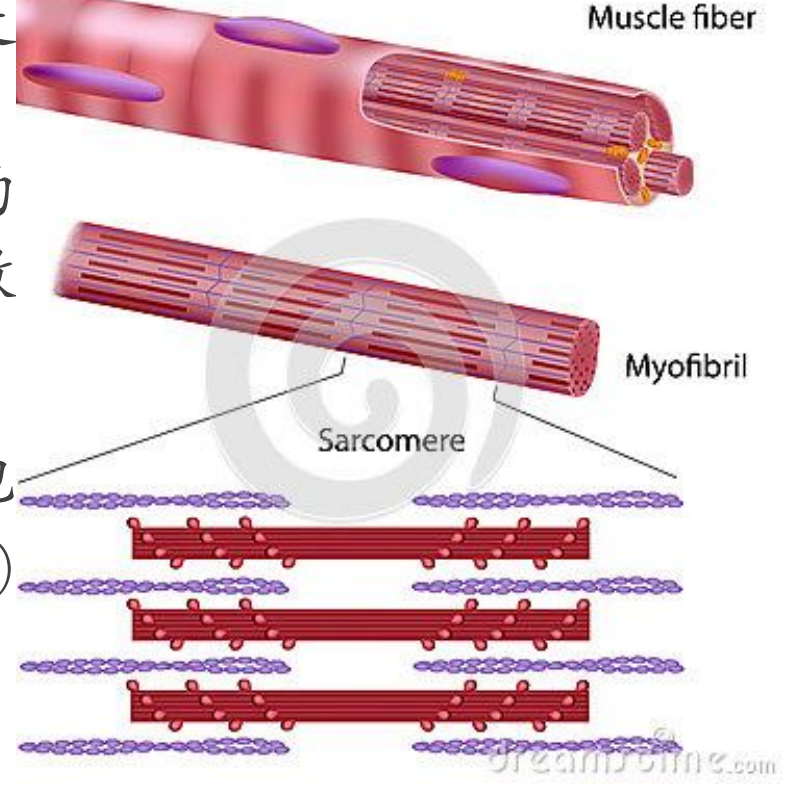
肌纤维(基本构造单位) (肌内膜endomysium) 初级肌束 (primary bundle) (肌束膜 (perimysium) 次级肌束(数十条初级肌束) 肌肉块 (肌外膜, epimysium)



#### ●骨骼肌结构

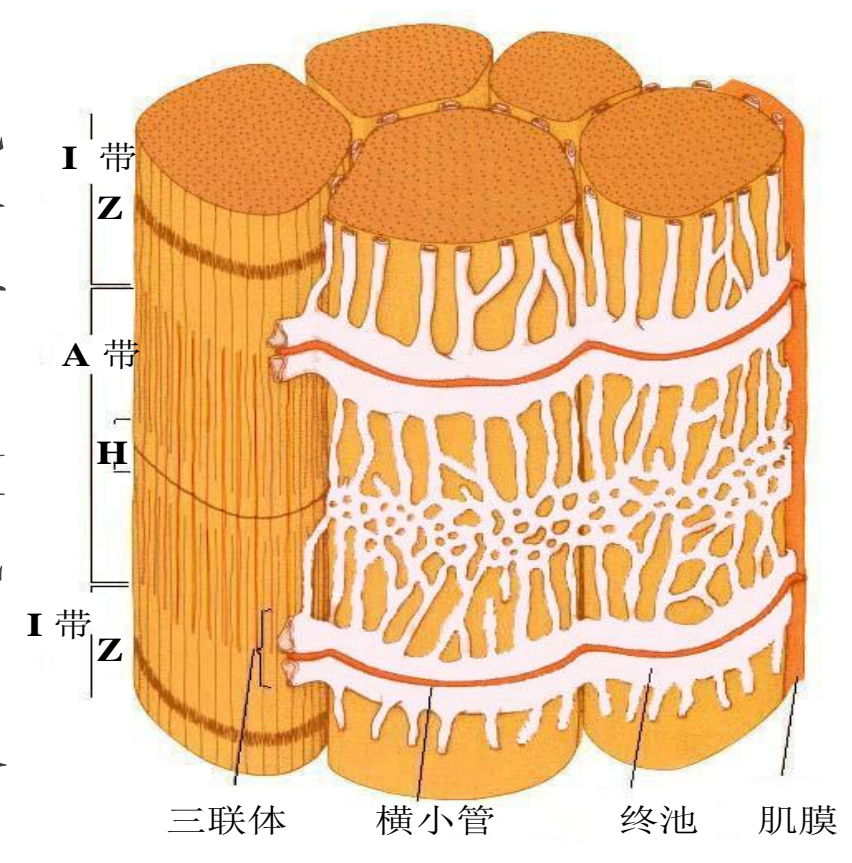
◆肌纤维为基本单位,本身是一个细胞,含有多个细胞核, 呈长圆柱形或棱柱形。直径约为10~60μm,长数毫米至数厘米,有时长30 cm。

◆骨骼肌细胞中含大量与细胞 长轴平行的<u>肌原纤维(myofibril)</u> 是1 μm的圆柱形的结构。

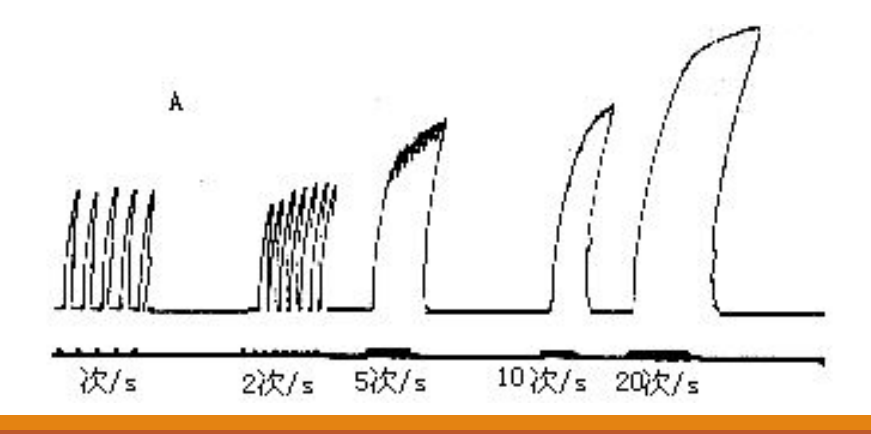


#### ●骨骼肌结构

- ◆肌原纤维由粗肌丝和细肌 丝组装而成,粗肌丝的成分 是<u>肌球蛋白</u>,细肌丝的主要 成分是肌动蛋白。
- ◆肌原纤维有横纹,明带(I带)和暗带(A带),Z线和H线。
- ◆相邻两条Z线之间的一段 肌原纤维称为肌节。



- ●骨骼肌的特点
  - ◆在电刺激或化学刺激下骨骼肌收缩产生张力。
  - ◆其最大特点是<u>刺激频率越高,产生张力越大</u>。当频率 足够高时,张力达到最大值,这种状态叫<u>挛缩</u>。
  - ◆在松弛态下应力很小, 可忽略不计。



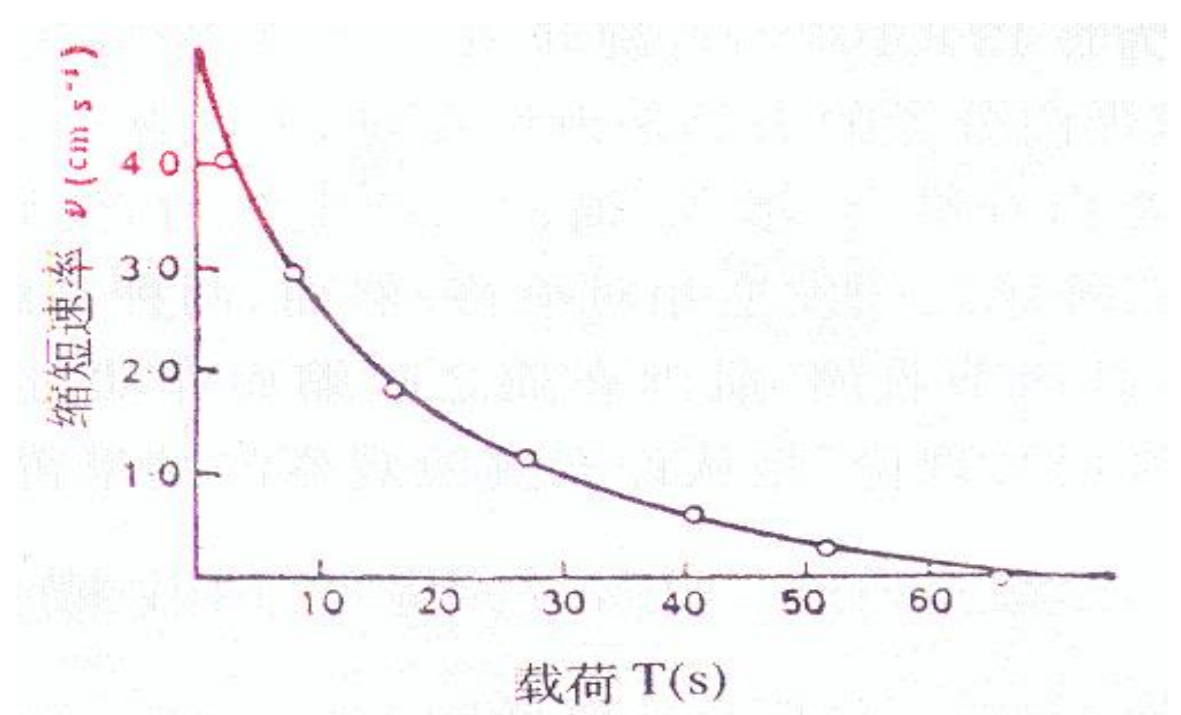
#### ●Hill方程

上世纪30年代,Hill的经典性的工作奠定了骨骼肌力学的基础。他取青蛙的缝匠肌为试样,两端夹紧,保持肌肉的一定长度 $L_0$ 。以足够高的频率和电压加电刺激,使挛缩产生张力 $T_0$ 。然后将肌肉的一端松开,使其张力降为 T (T <  $T_0$ ),则肌肉纤维以速度 $\nu$ 缩短。Hill 通过该方法测定 T 、 $\nu$ 与  $T_0$ 的关系,还测定了肌肉缩短时产生的热量,以及维持挛缩状态所需的热量。

#### ●Hill方程

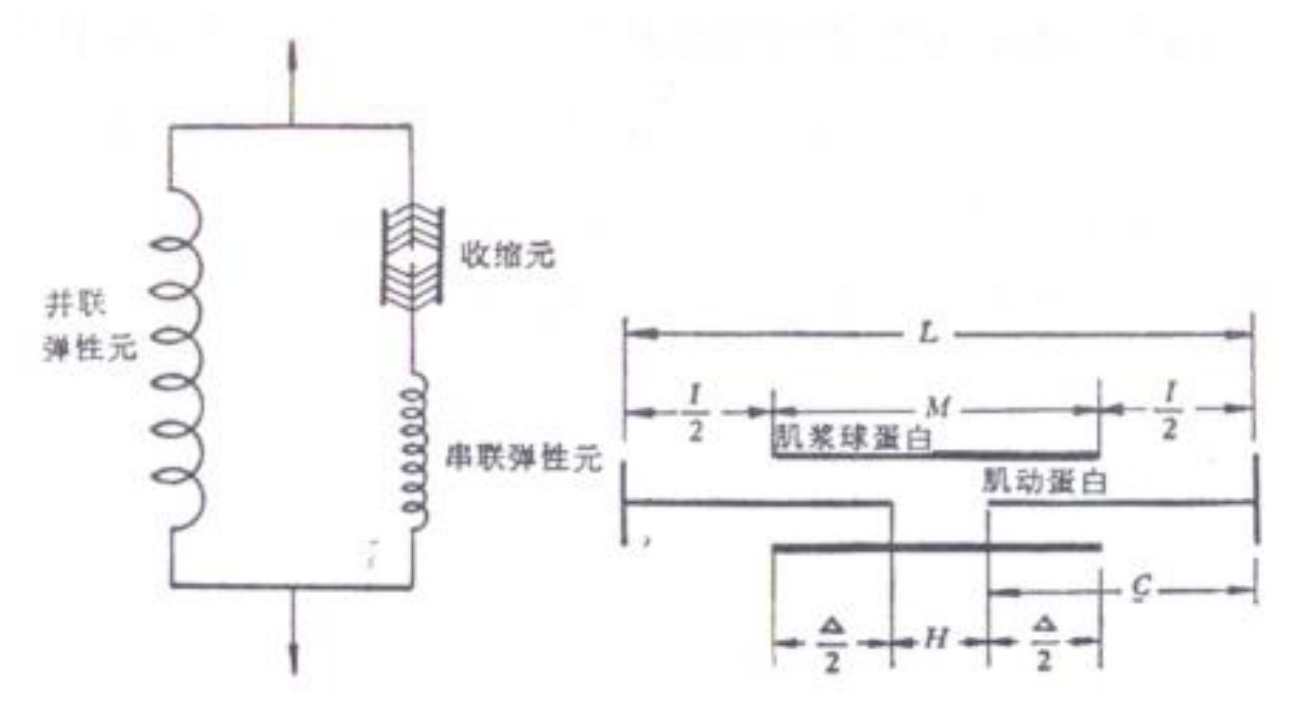
- ◆Hill方程表明:在挛缩状态下,单位时间内从化学反应获得的机械能是常量。从力学观点来看,Hill方程描述了骨骼肌收缩时的力——速度关系。
- ◆Hill 方程可写成如下形式:

#### ●Hill方程



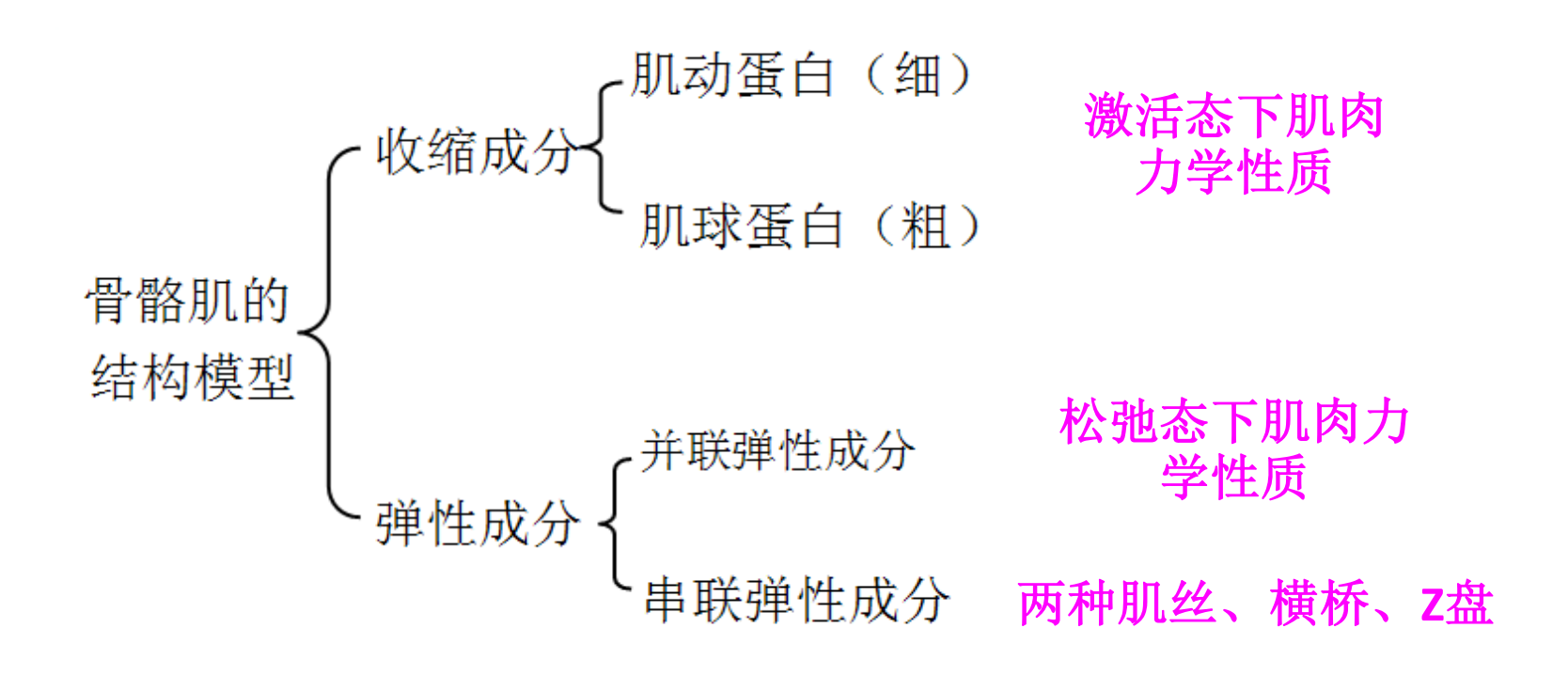
挛缩状态的蛙缝匠肌快速释放实验中测得的等张收缩时 T, v 数据与 Hill 方程相比较(引自 Hill, 1938 年)

●Hill三元素模型



Hill三元素模型

#### ●Hill三元素模型



#### ●Hill三元素模型

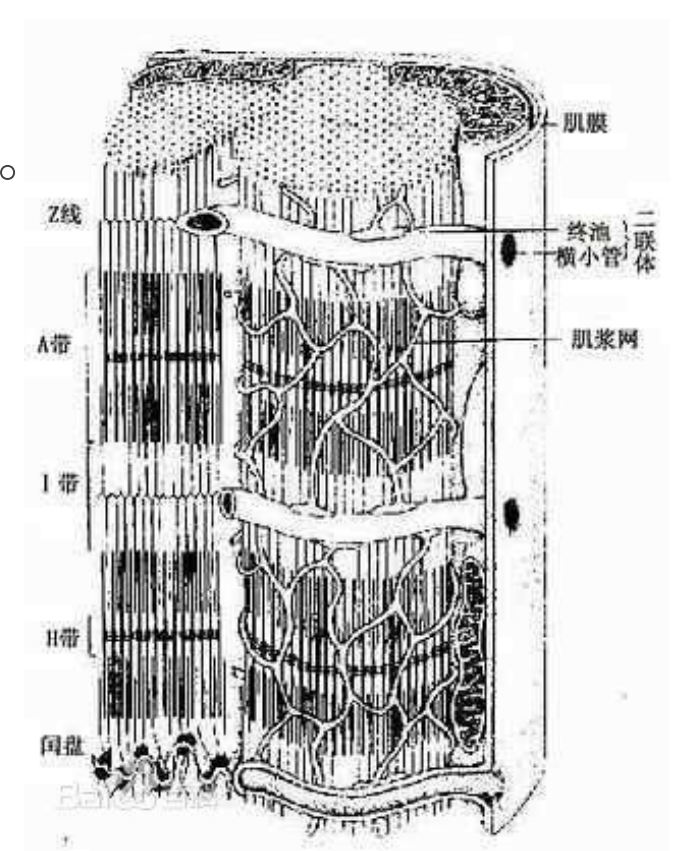
- 1. 收缩元: 代表可以相对滑动的肌浆球蛋白和肌动蛋白纤维丝, 其张力与它们之间的横桥数目有关。松弛状态下, 张力为零;
- 2. 串联弹性元:它表示肌浆球蛋白纤维、肌动蛋白纤维、横桥、z线以及结缔组织的固有弹性,设它是完全弹性体;
- 3. 并联弹性元:它表示静息状态下肌肉的力学性质。

#### ●Hill三元素模型

几十年来的实践表明,对于骨骼肌的性质来说, Hill方程和Hill模型仍然是一种良好的近似。而且,到 目前为止,这也是唯一可操作的模型。从实际应用的需 要来看,对于骨骼肌来说,当务之急不在于新的、更完 善的理论的探索和更完备的本构关系的寻求, 而在于肌 肉(肌群)力的在体无创监测方法的研究、这无论对于 骨和关节的受力分析、骨折的治疗的方法选择和参数优 化,以及运动生物力学等都有重大的实用意义。在这方 面, Hill 模型理论有可能发挥它的独特的作用。

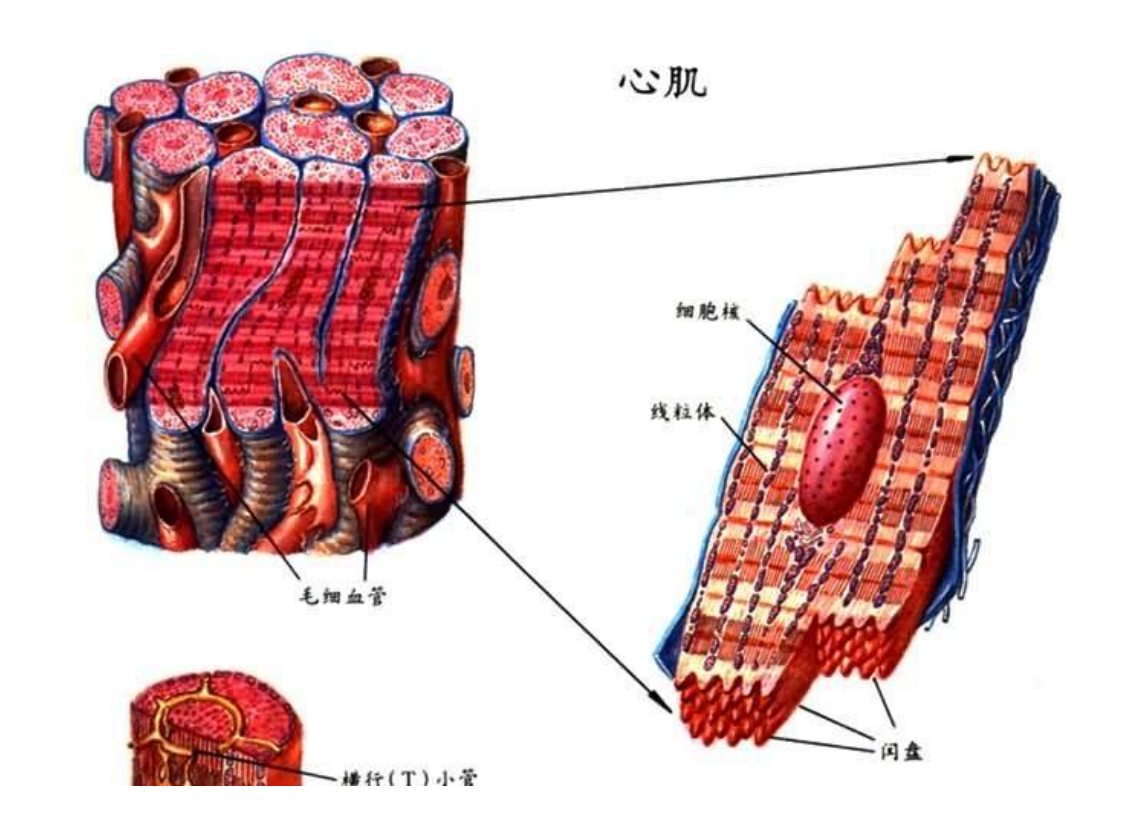
#### ●心肌的构造

- ◆心肌细胞分布于心脏房、室壁上。
- ◆心肌细胞为<u>短柱状</u>,一般只有一个细胞核。心肌细胞之间有<u>闰盘</u> 结构。该处细胞膜凹凸相嵌,并 特殊分化形成桥粒,彼此紧密连 接。
- ◆心肌细胞的直径比骨骼肌小,心 肌细胞的肌节长度也比骨骼肌的 肌节为短。



心肌纤维超微结构立体模式图

●心肌的构造



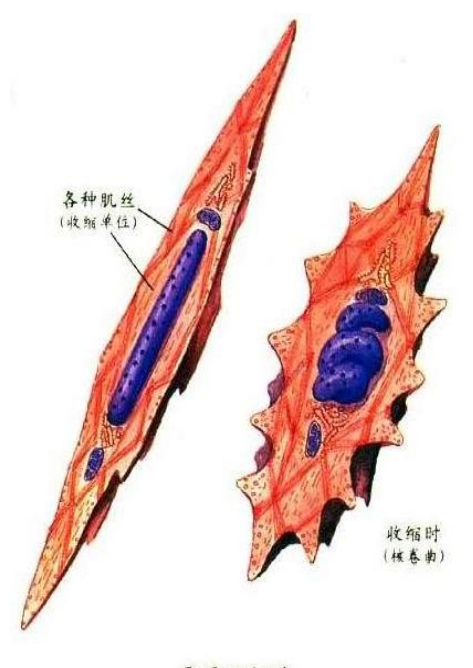
●心肌的力学特点

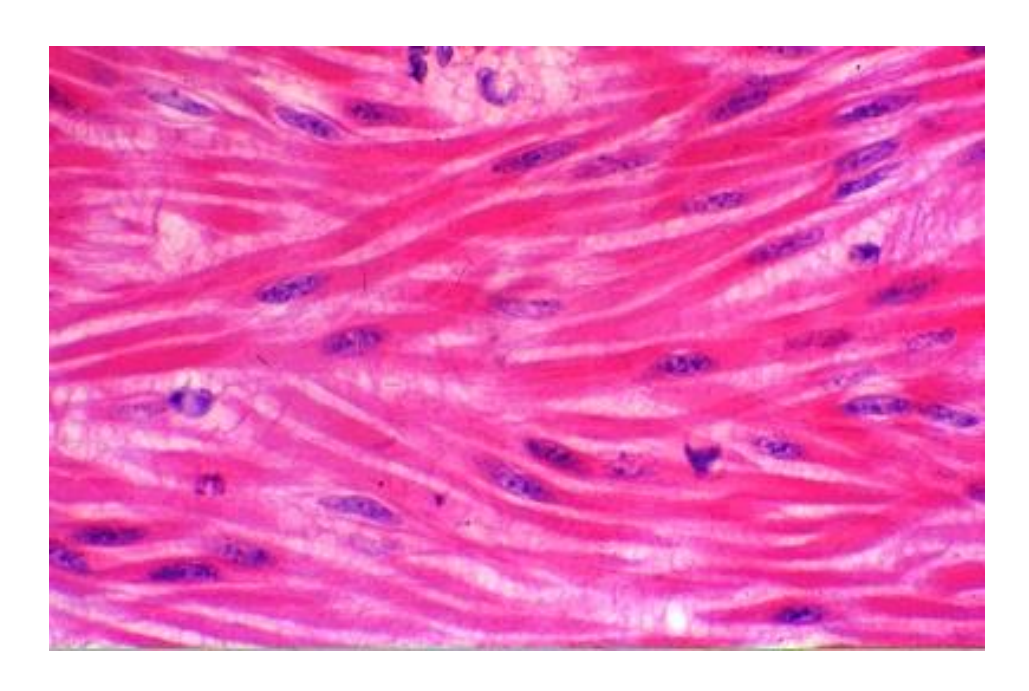
形态和收缩原理上与骨骼肌相似。与骨骼肌的不同:

- ◆不停的收缩和舒张运动,时刻不能缺氧和营养。
- ◆节律性强,不允许挛缩(不能处于强直状态)。
- ◆松弛状态心肌静息张力具有重要性。
- ◆心肌长度工作范围有限

#### ●平滑肌结构

◆梭形,一个细胞核,排列弯曲并纠缠在一起。





平滑肌细胞

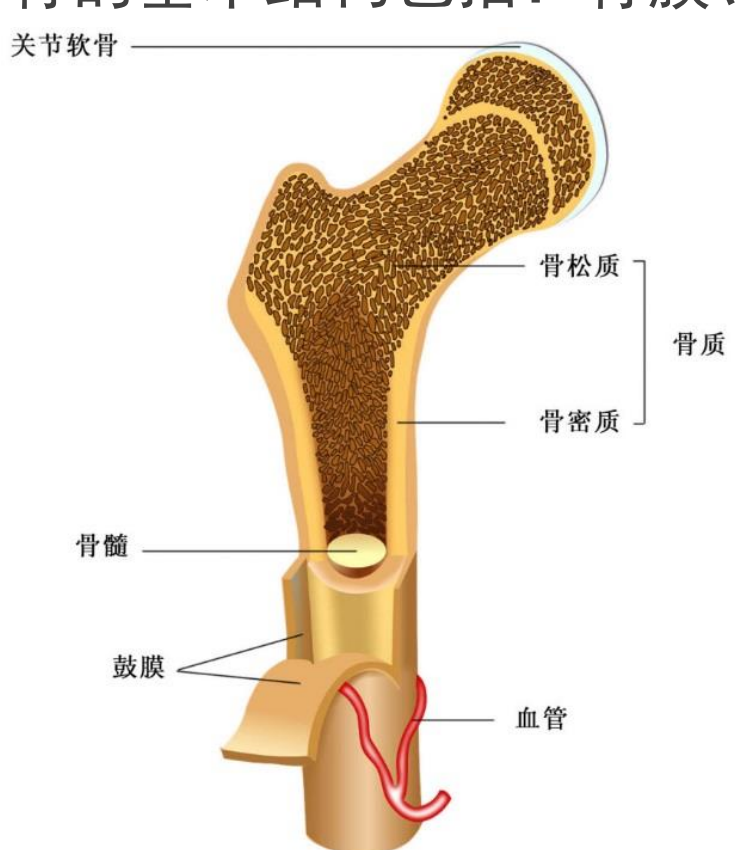
- ●平滑肌力学特点
  - ◆平滑肌的运动不受自主神经控制。
  - ◆不同器官中的平滑肌力学性质差异显著。

# 第3节骨的力学性质

- 3.1 骨的基本结构与分类
- 3.2 骨的基本力学性质
- 3.3 骨的功能适应性

# 3.1 骨的基本结构与分类

●骨的基本结构包括:骨膜、骨质和骨髓



- ◆骨膜: 由结缔组织构成, 分为骨外膜和骨内膜。
- ◆骨质: 是骨的主要成分, 分为骨松质和骨密质。
- ◆骨髓:分布在骨髓腔和骨 松质的网眼里。

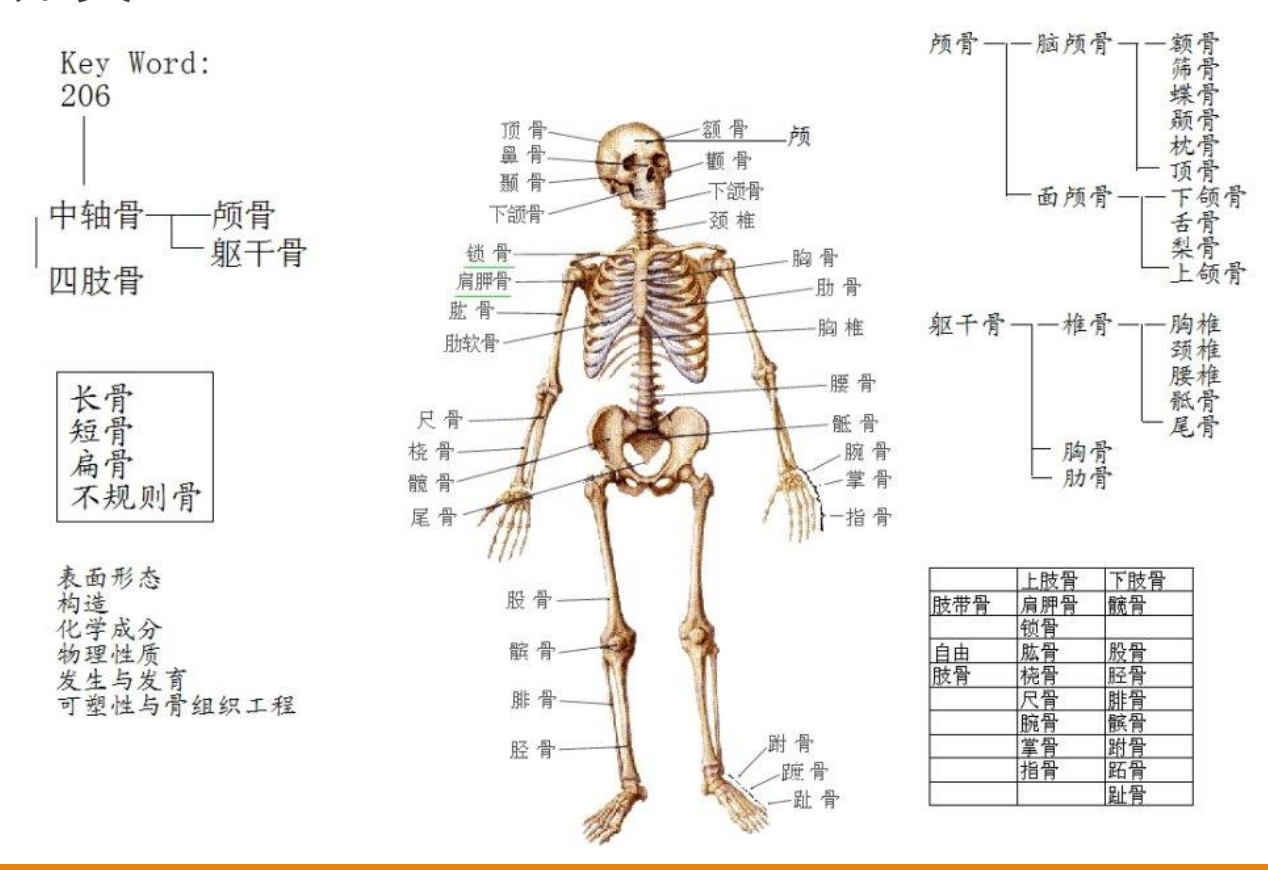
# 3.1 骨的基本结构与分类

#### ●骨的分类

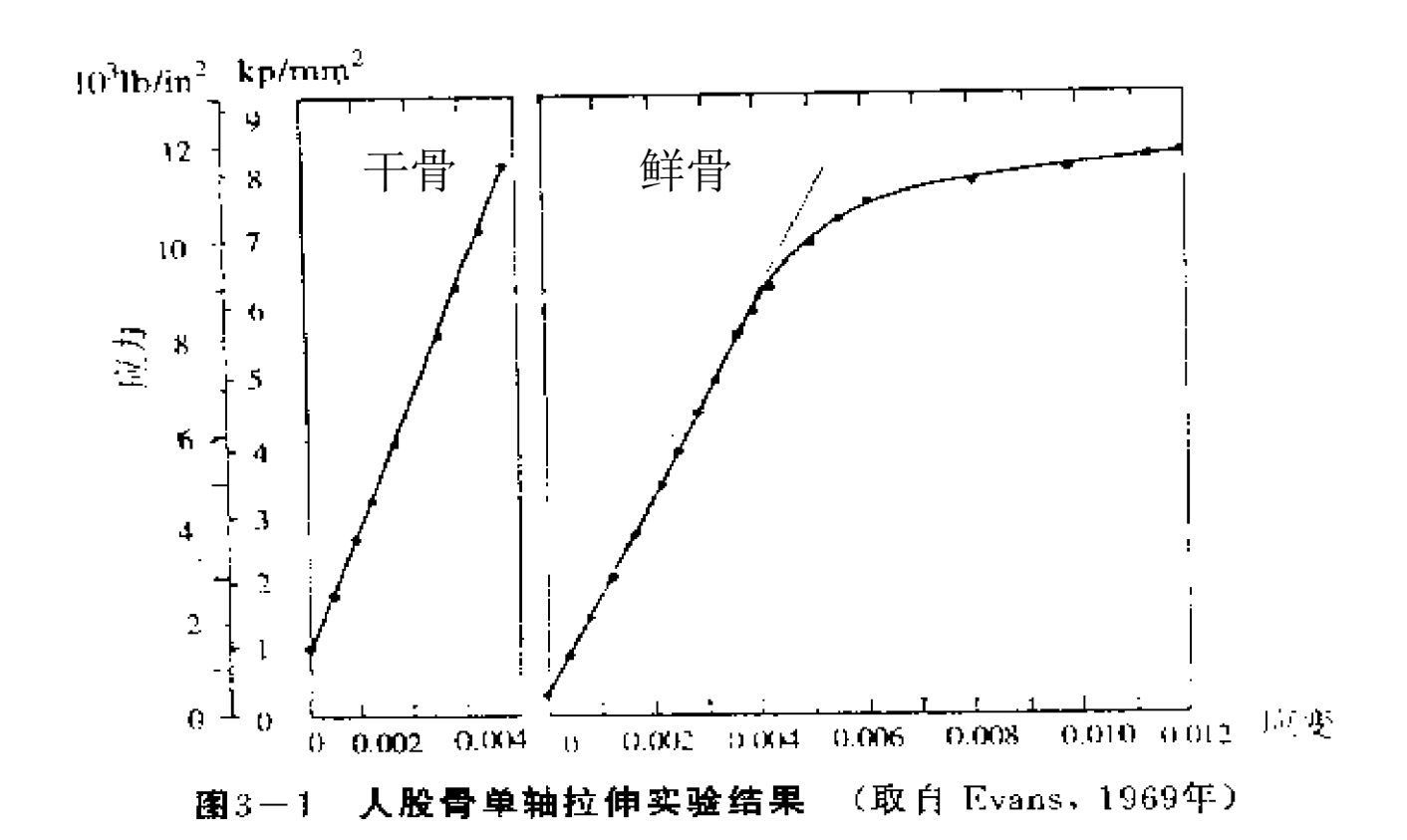
- ◆成人全身共有206块骨(东亚人只有204块骨头),根据具体的部位可分为中轴骨和四肢骨两部分。
- ◆中轴骨包括颅骨和躯干骨,四肢骨包括上肢骨和下肢骨。
- ◆其中,有颅骨29块、躯干骨51块、四肢骨126块。

# 3.1 骨的基本结构与分类

#### ●骨的分类



- ●有一定的硬度;
- ●具有很高的抗拉、压性能;
- ●干燥骨抗拉强度提高,但变脆。而鲜骨的最大应变可达 1.2%;
- ●骨的应变很小,可用Cauchy应变描述;
- ●从骨的结构而言,经过生物优化过程,具有最优的力学性能,既优化为最大的强度、最省的材料、最轻的重量。



- ●骨力学特性的基本概念
  - ◆强度:抵抗破坏的能力 抗张强度、抗压强度、弯曲强度
  - ◆刚度: 抵抗变形的能力
  - ◆稳定性:保持相对位置的能力
  - ◆弹性模量、韧性、应力—应变曲线

- ●骨的力学性能特点
  - ◆有生命
  - ◆非均匀、各向异性的复合材料
  - ◆接近于工程材料, 用工程学方法分析骨的力学性能
  - ◆骨的可塑性: 在生长、发育过程中, 由于各种条件的 影响使得骨的形态有所改变。
  - ◆骨的粘弹性: 在外力作用下, 骨产生的形变与时间相关。

### 3.3 骨的功能适应性

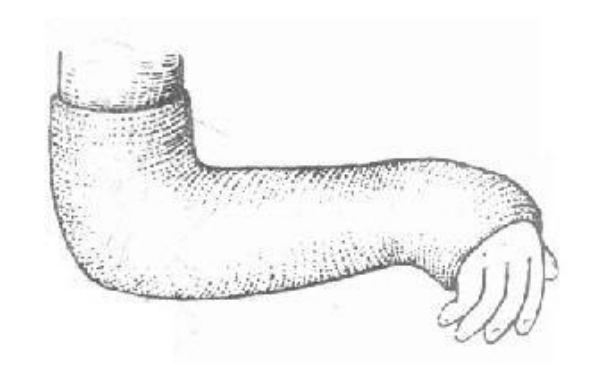
- ●应力对骨的改变、生长和吸收起着调节作用
- ●应力过低或过高都会使骨逐渐萎缩
- ●从骨的结构而言,经过生物优化过程,具有最优的力学性能,既优化为最大的强度、最省的材料、最轻的重量。

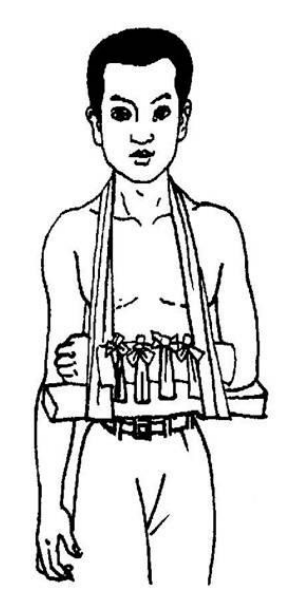
# 3.3 骨的功能适应性

#### ●Wolf定律

◆活体骨按其所受应力而改变成分、内部结构以及外部 形态——重建(内部重建、表面重建)





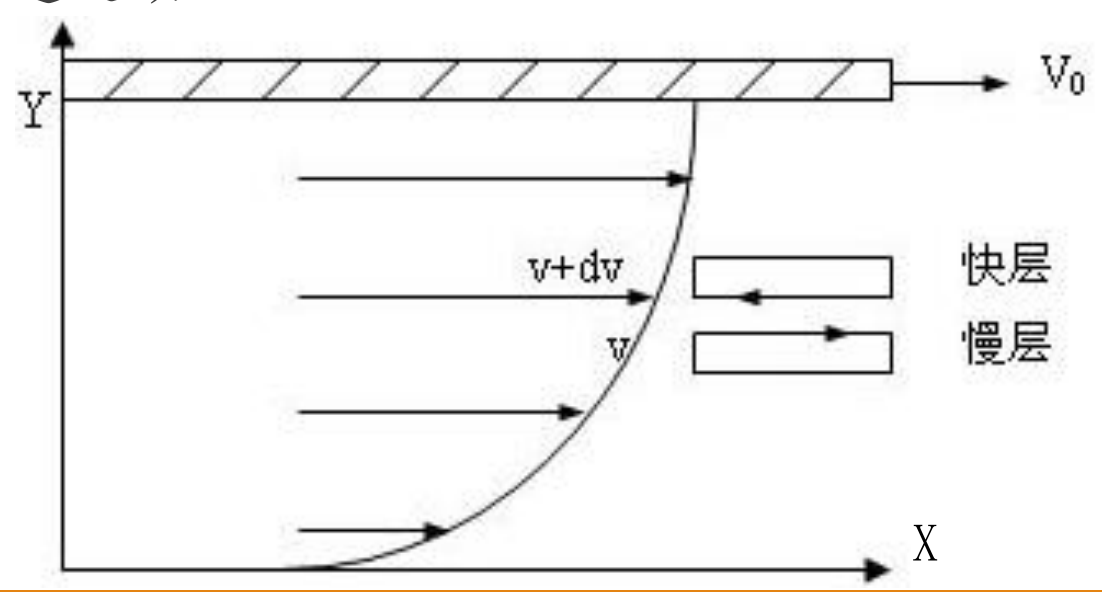


# 第4节血液的流动性质

- 4.1 流体的黏性
- 4.2 血液的黏度
- 4.3 Casson方程
- 4.4 血液在刚性圆管中的层流流动
- 4.5 血液流变学的医学应用

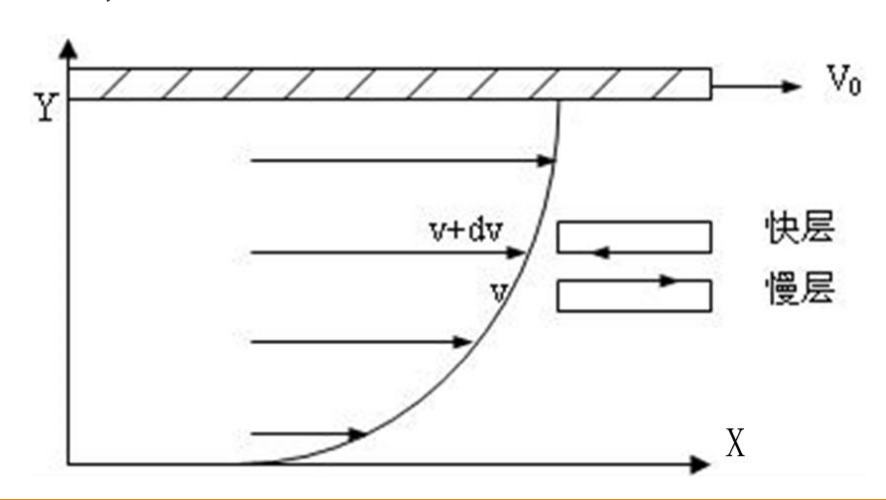
#### 牛顿实验

两无限大平行平板之间充满了静止的液体。将下板固定,对上板施加一恒定外力,使上板以速度v<sub>0</sub>沿x方向作匀速运动。



#### 牛顿实验

发现: 紧靠上板的液体粘附在其表面上而与之以相同的速度v<sub>0</sub>向前运动; 紧靠下板的液体, 也因粘附作用而与下板一起保持不动, 而两板之间的液体, 则由于粘滞作用, 从上到下速度逐渐由大变小, 直至为零。



#### 剪应变率:

$$\dot{\gamma} = \frac{\mathrm{d}v}{\mathrm{d}y}$$

牛顿内摩擦定律

流体相对运动时所引起的摩擦力:

- ◆与两层流体的速度梯度(剪应变率ÿ)成正比;
- ◆与两层流体的接触面积(A)成正比;
- ◆与流体物性有关: 黏性系数 (η)

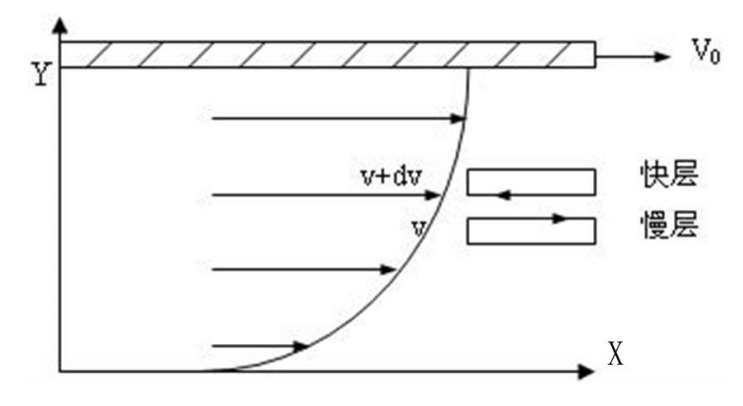
$$F = \eta \frac{\mathrm{d}v}{\mathrm{d}y} A = \eta \dot{\gamma} A$$

剪应力:

$$\tau = \frac{F}{A} = \eta \dot{\gamma}$$

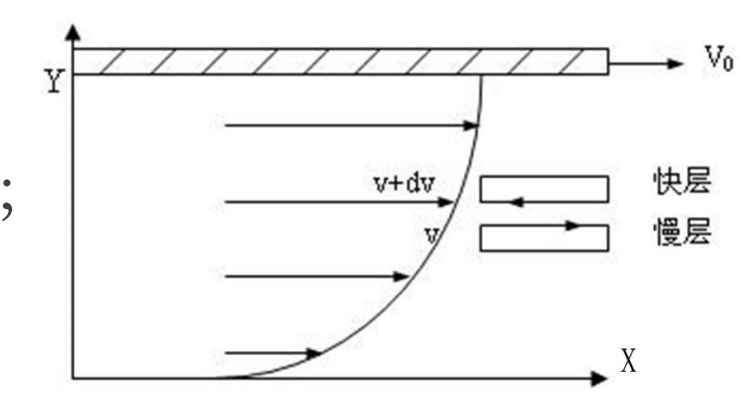
#### ●黏性产生的原因

- ◆流体分子间存在吸引力,速 度较快的流体层会拖着慢层向 前运动;
- ◆速度较快的流体层中的流体, 其在x方向的动量也大,该层流 体分子中的一部分由于无规则 热运动进入速度较慢的流体层, 通过碰撞将动量传递给后者, 使其产生一个加速力;



#### ●黏性产生的原因

- ◆同时,运动较慢的流体层亦有同样数量分子进入运动较快的流体层,而对后者产生一个 大小相等、方向相反的减速力;
- ◆这种传递一层一层进行,直至壁面。流体向壁面传递动量的结果是产生了壁面处的摩擦力。



- 黏性系数 (η)
  - ◆又称为黏度,其物理意义表示速度梯度为1时,单位 受力面积上流体层之间内摩擦力的大小。显然,流体 黏度是衡量流体黏性大小的一个物理量。
  - ◆单位: N•s/m² ( Pa•s ) 。

#### ●影响流体黏度的因素

流体黏度的数值随流体种类不同而不同,并随压强、温度变化而变化。

- ◆1) 流体种类。一般地,相同条件下,液体的黏度大于气体的黏度。比如,常温、常压下水的黏度系数为1.01E-3Pa.s,空气为1.8E-5Pa.s。
- ◆2) 压强。对常见的流体,如水、气体等,黏度值随 压强的变化不大,一般可忽略不计。

#### ●影响流体黏度的因素

流体黏度的数值随流体种类不同而不同,并随压强、温度变化而变化。

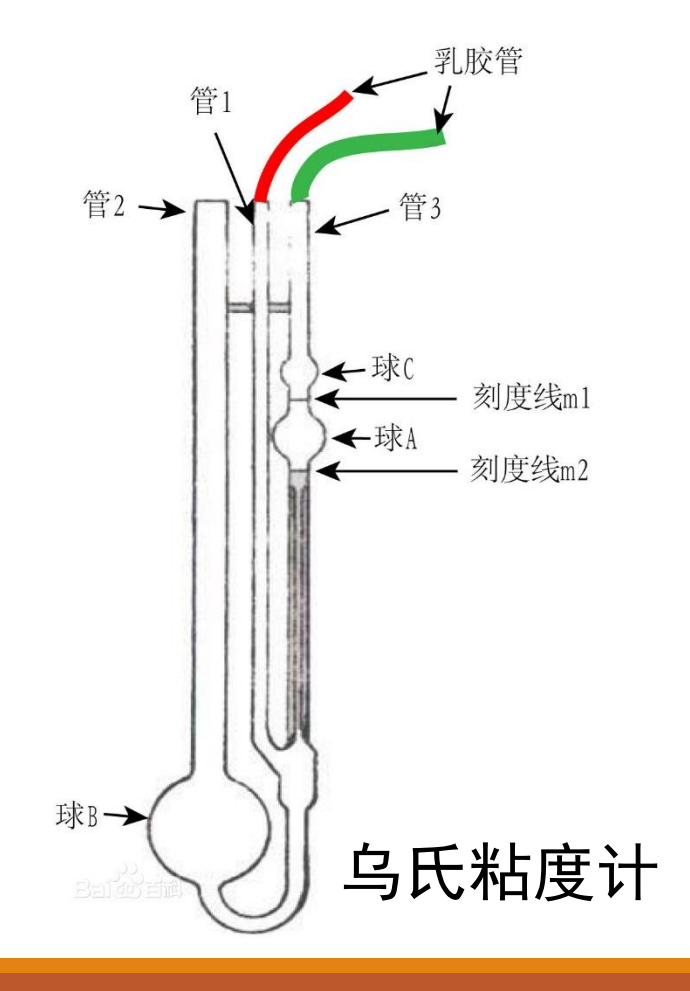
- ◆3) 温度是影响黏度的主要因素。当温度升高时,液体的黏度减小,气体的黏度增加。
- a.液体: 内聚力是产生黏度的主要因素, 当温度升高, 分子间距离增大, 吸引力减小, 因而使剪切变形速度所产生的切应力减小, 所以黏度系数值减小。
- b.气体: 气体分子间距离大,内聚力很小,所以黏度主要是由气体<u>分子运动动量交换</u>的结果所引起的。温度升高,分子运动加快,动量交换频繁,所以黏度系数值增加。

#### ●理想流体:

- ◆当流体的粘性很小时,或运动的相对速度不大时,所产的粘性力与其他类型的力相比可忽略不计,可以把流体看成是无粘的,叫做理想流体。
- ◆剪应力和剪应变率成正比(黏性系数η为常数)的流体,叫<u>牛顿流体</u>。
- ◆凡是剪应力与剪应变率不符合不符合正比关系的流体 均称为非牛顿流体。

#### 4.1 流体的黏性

- ●测定流体黏度的方法:
  - ◆毛细黏度计。当液体在毛细管黏度计内因重力作用而流出时遵守 Poiseuille定律。
  - ◆Couetter黏度计。
  - ◆锥─板黏度计。



## 4.2 血液的黏度

#### ●血液的组成

血液是流动在人的血管和心脏中的一种红色不透明的粘稠液体。包括细胞和液体两部分。

- ◆细胞: 红细胞和白细胞和血小板三 类
- ◆液体: 血浆,除含有大量水分以外,还有无机盐、纤维蛋白原、白蛋白、球蛋白、酶、激素、各种营养物质、代谢产物等

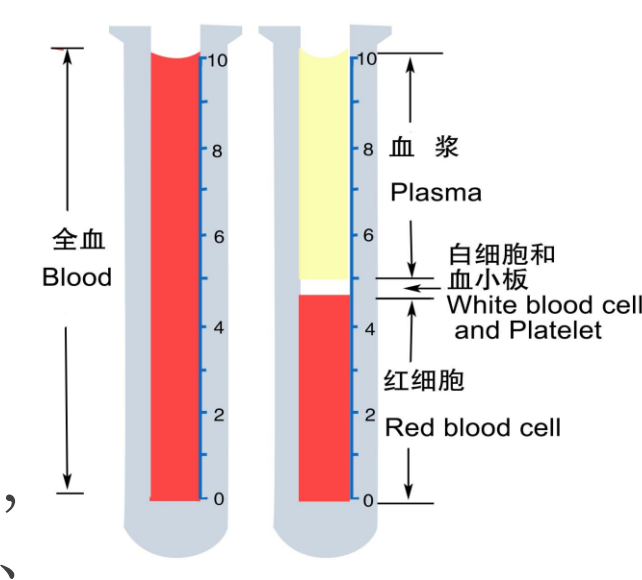


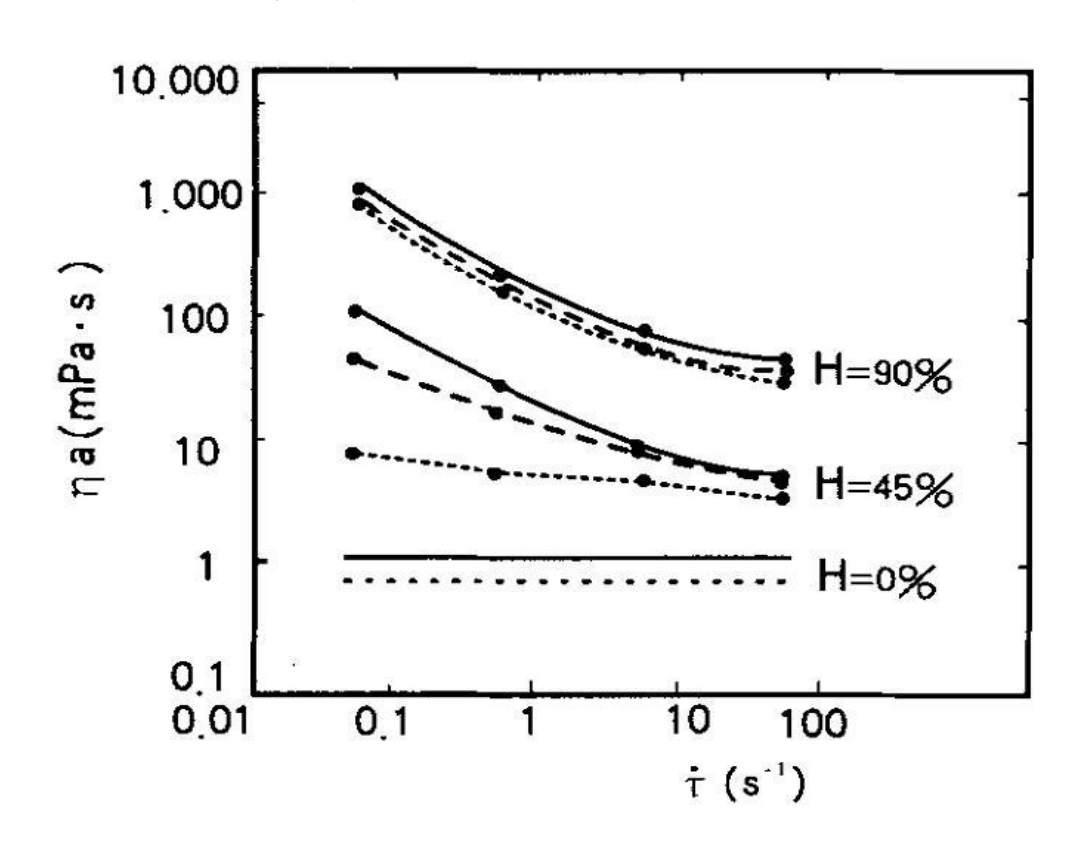
图 - 血液的组成示意图

## 4.2 血液的黏度

- ●血液的流动性质
  - ◆正常血浆是牛顿流体,黏度值通常为1.2cP。
  - ◆由于血细胞的存在,血液的黏度随剪应变率的变化而变化,属于非牛顿流体。
  - ◆剪应变率ÿ增大,黏度η降低。
  - ◆红血球浓度 (血球比H) 越大, 黏度η越高。

## 4.2 血液的黏度

#### ●血液的流动性质



——— 全血 ----- 去掉纤维蛋白原的血

·············· 红血球在Ringer液中的悬浮液

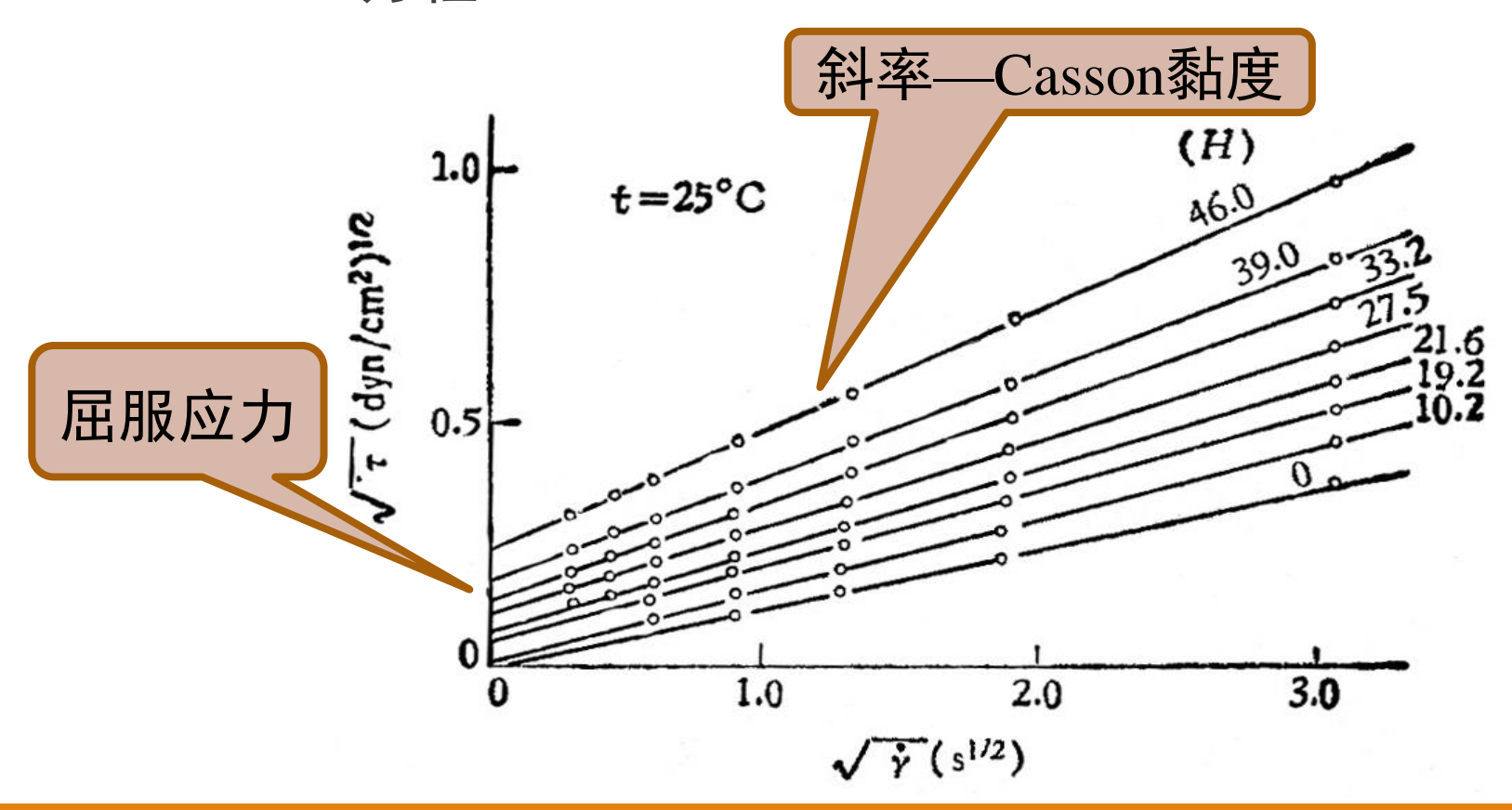
#### ●Casson方程

Chien其人通过试验,发现血液的流变特性可以通过以下本构方程(即剪应力与剪应变率关系)来描述:

$$\sqrt{\tau} = \sqrt{\eta_{\rm c}} \sqrt{\dot{\gamma}} + \sqrt{\tau_{y}}$$

上式称为Casson方程。其中, $\tau_y$ 称为Casson<u>屈服应</u>力, $\eta_c$ 称为<u>Casson粘度</u>,均为常数。

●Casson方程



#### ●参数的意义:

- ◆屈服应力 (τ<sub>y</sub>): 使血液开始流动性所<u>需要的最小剪</u> <u>切应力</u>,对于人体全血而言,只有施加于血液的剪切应力达到一定值时,才能消除其内部对抗并开始流动。当血液内部剪切应力低于τ<sub>y</sub>时,血液犹如固体,只会变形不会流动。
- ◆血液流变学数据统计分析统计表明, 屈服应力与全血低剪切黏度相关性十分显著, 故与红细胞聚集性有关。

$$\sqrt{\tau} = \sqrt{\eta_{\rm c}} \sqrt{\dot{\gamma}} + \sqrt{\tau_y}$$

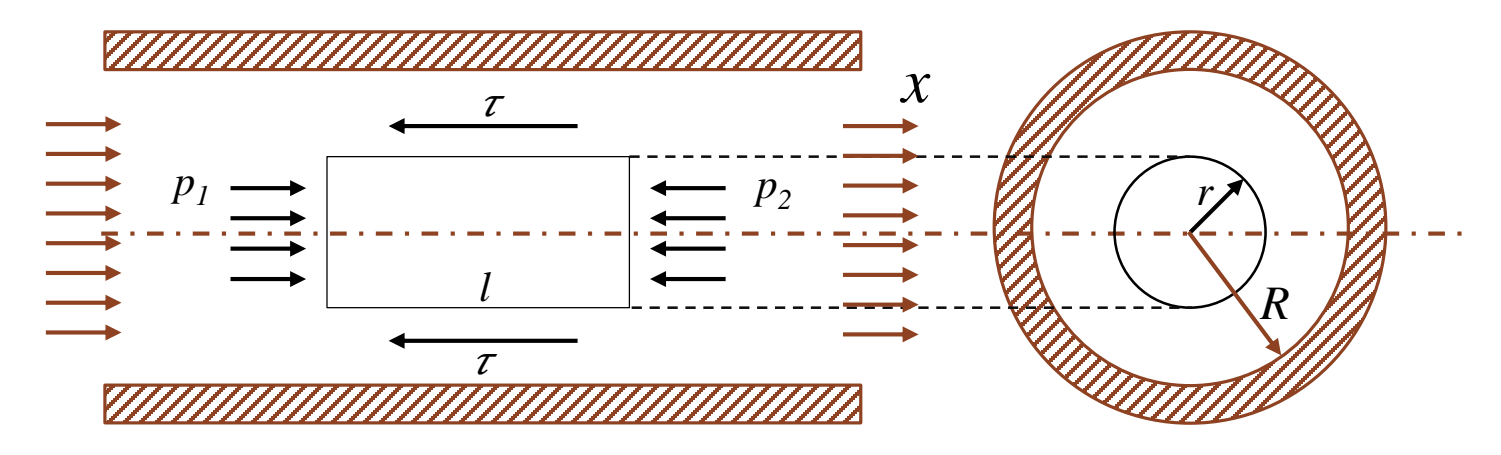
#### ●参数的意义:

- ◆Casson黏度 (η<sub>c</sub>):随着剪切率的增加,红细胞缗钱 状聚集体逐渐瓦解直至完全分散,血液表观粘度降低, 剪切率继续增大,红细胞可被拉长,顺着流线运动, 血液粘度进一步降低,但降低不是无止境的,达到一 个极限值或最低值,就是Casson黏度。
- ◆Casson黏度与全血黏度的高剪切黏度相关性非常显著, 故与红细胞的变形性有关。

$$\sqrt{\tau} = \sqrt{\eta_{\rm c}} \sqrt{\dot{\gamma}} + \sqrt{\tau_y}$$

- ●流体在刚性圆管中的层流模型
  - ◆假设管壁是刚性的,边界上径向流动速度为零;
  - ◆假设管壁处无滑动条件成立,即管壁处血液相对于壁的速度为零;
  - ◆假设管导足够长,可以不考虑端头,流动是定常层流。 轴向流速u仅为半径r的函数。

●流体在刚性圆管中的层流模型



剪切力与压力平衡,可得:

$$\tau \cdot 2\pi r l = \tau A_1 = -\Delta p A_2 = -\frac{dp}{dx} l \cdot \pi r^2$$

因此, 半径
$$r$$
处的剪切力  $\tau = -\frac{r}{2}\frac{dp}{dx}$ 

牛顿流体的流速分布和流量计算

对于牛顿流体有, 
$$\tau = -\frac{r}{2}\frac{dp}{dx} = \eta \frac{du}{dr}$$

$$p$$
与 $r$ 无关,积分得,  $u = -\frac{r^2}{4\eta} \frac{dp}{dx} + C$ 

存在边界条件, 当r=R时,流速u=0,代入可得

$$u = \frac{1}{4\eta} (R^2 - r^2) \frac{dp}{dx}$$

牛顿流体的流速分布和流量计算

牛顿流体的速度沿径向呈抛物线分布

$$u = \frac{1}{4\eta} (R^2 - r^2) \frac{dp}{dx}$$

当
$$r=0$$
时,

$$u_{max} = \frac{R^2}{4\eta} \frac{dp}{dx}$$

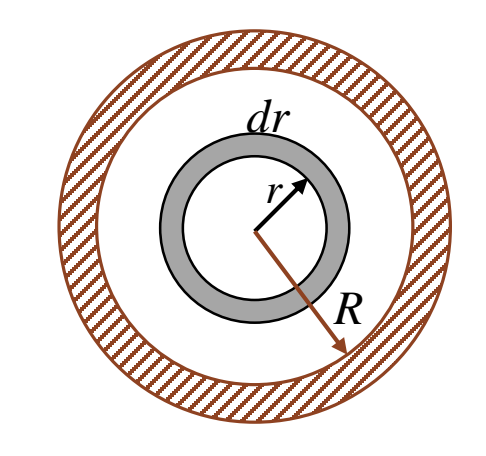
$$u对r$$
 求导,

$$\dot{\gamma} = \frac{du}{dr} = -\frac{r}{2\eta} \frac{dp}{dx}$$

牛顿流体的流速分布和流量计算

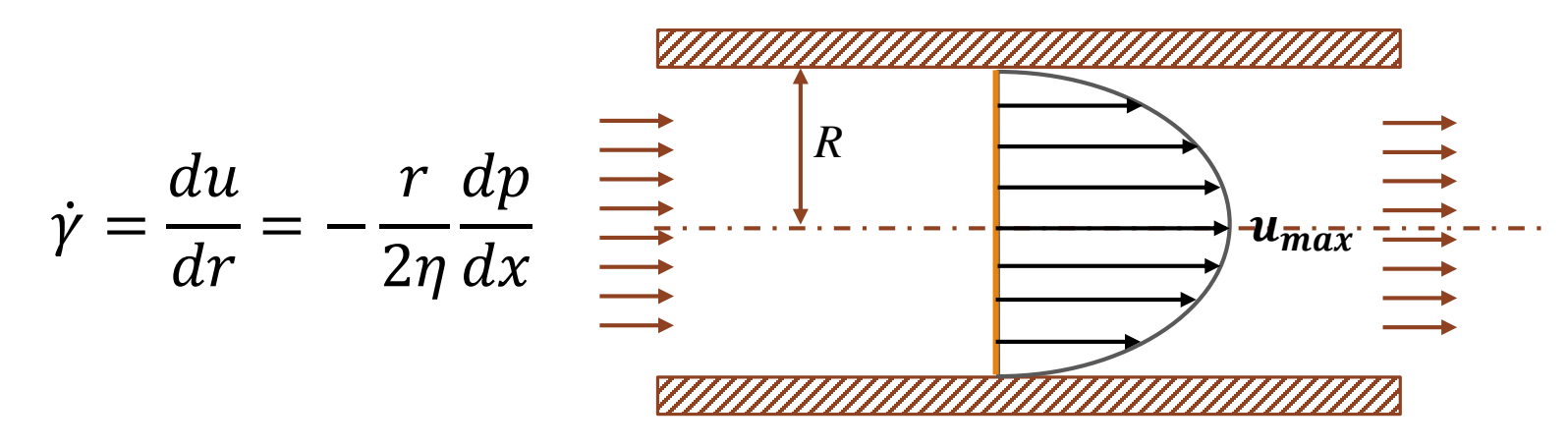
流量Q为, 
$$Q = \int_0^R u \cdot 2\pi r dr$$

代入流速, 
$$u = \frac{1}{4\eta} (R^2 - r^2) \frac{dp}{dx}$$



计算可得: 
$$Q = \frac{\pi R^4}{8\eta} \frac{dp}{dx}$$

Casson流体的流速分布和流量计算

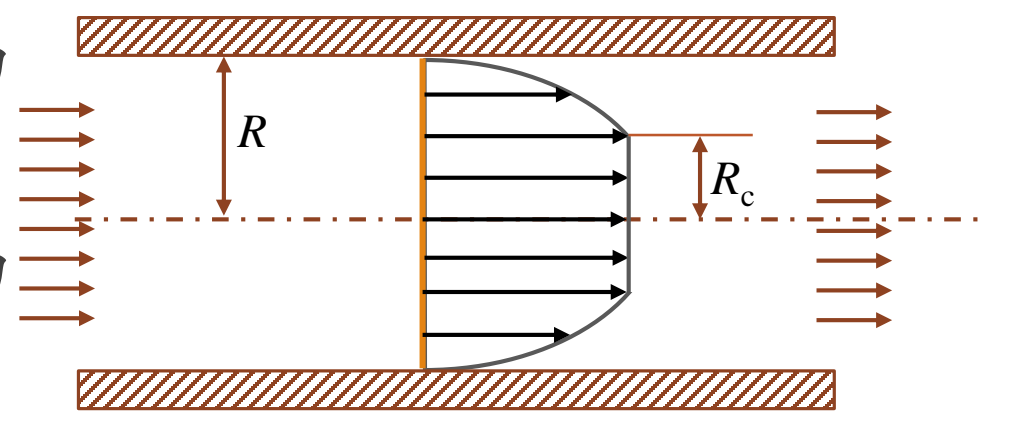


- ◆血管壁附近剪应变率较高,可看成是牛顿流体;
- ◆管中心区域剪应变率趋于0,非牛顿性表现明显;
- ◆整个血管近似服从Casson方程。

- Casson流体的流速分布和流量计算
  - ◆当*r≥R*<sub>c</sub>时,剪应力 服从公式2-10; ◆当*r<R*<sub>c</sub>时,剪应力
  - ◆当r< $R_c$ 时,剪应力小于屈服应力 $\tau_y$ 。

$$当r=R$$
时,

$$\tau_w = -\frac{R}{2\eta} \frac{dp}{dx}$$



当
$$r = R_c$$
时,剪应力为屈服应力

$$\tau_y = -\frac{R_c}{2\eta} \frac{dp}{dx}$$

Casson流体的流速分布和流量计算

当 $R_c \le r \le R$ , 可利用Casson方程计算速度

$$\sqrt{\tau} = \sqrt{\eta} \sqrt{\dot{\gamma}} + \sqrt{\tau_{y}}$$

代入 
$$\tau = -\frac{r}{2}\frac{dp}{dx}$$
 , 可得  $\sqrt{-\frac{r}{2}\frac{dp}{dx}} = \sqrt{\eta}\sqrt{\frac{du}{dr}} + \sqrt{\tau_y}$ 

积分后得:

$$u = \frac{1}{4\eta} \frac{dp}{dx} \left( R^2 - r^2 - \frac{8}{3} \left( R^{3/2} - r^{3/2} \right) \sqrt{R_c} + 2R_c (R - r) \right)$$

Casson流体的流速分布和流量计算

当 $0 \le r \le R_c$ , 可近似等于 $R_c$ 处速度

$$u = \frac{1}{4\eta} \frac{dp}{dx} \left( R^2 - \frac{8}{3} R^{3/2} \sqrt{R_c} + 2R_c R - \frac{1}{3} R_c^2 \right)$$

流量Q可通过两部分分别计算得,

$$Q = \frac{\pi R^4}{8\eta} \frac{dp}{dx} F(\delta)$$

$$F(\delta) = 1 - \frac{16}{7}\sqrt{\delta} + \frac{4}{3}\delta - \frac{1}{21}\delta^4 \qquad \delta = \left(\frac{2\tau_y}{R}\right)\left(\frac{dp}{dx}\right)^{-1}$$

## 4.5 血液流变学的医学应用

血液的静力学特性和流动特性与人的生理活动和病 变有着密切的关系,在解释生理现象、疾病的诊断和治 疗上做出了重要贡献。

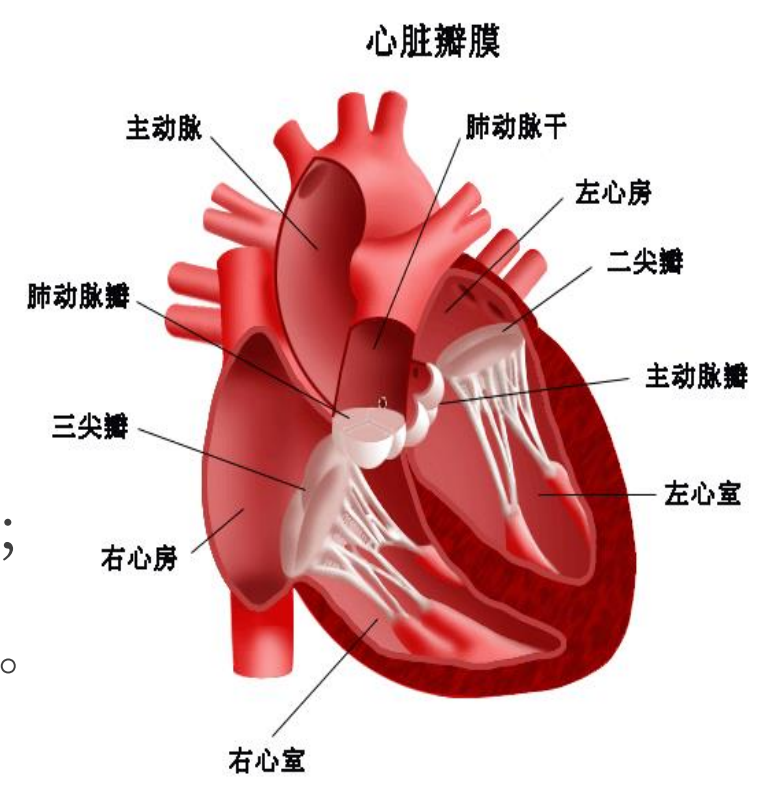
应用得最多的是血液的黏度改变来诊断疾病。如红细胞增多症、冠心病、镰形血红蛋白病和糖尿病时,构成血液的各种微观组成成分的改变,主要是红细胞的一系列特性的改变,是引起血液黏度异常的最直接因素,也是导致血液循环和微循环障碍以及组织或器官的缺血、缺氧和功能、代谢失调等一系列异常的原因。

# 第5节心脏、动脉和静脉中的血液动力学

- 5.1 心脏力学
- 5.2 动脉中的血液流动
- 5.3 静脉中的血液流动

#### ●心脏的结构

- ◆心脏有四个腔:左心房、右 心房、左心室、右心室;
- ◆心室出入口处都有瓣膜。左 心室的入口处有二尖瓣,出口 处有主动脉瓣,右室的入口处 有三尖瓣,出口处有肺动脉瓣;
- ◆心脏肌肉壁由冠状动脉供血。



- •心脏搏动的力学过程
  - ◆心搏周期(cardiac cycle):心脏每收缩和舒张一次构成一个心动周期。一个心动周期中首先是两心房收缩,其中右心房的收缩略先于左心房。心房开始舒张后两心室收缩,而左心室的收缩略先于右心室。在心室舒张的后期心房又开始收缩。
  - ◆一个心搏周期可分为4个时期:
    - 1、心室充盈期; 2、等容收缩期;
    - 3、射血期; 4、等容舒张期。

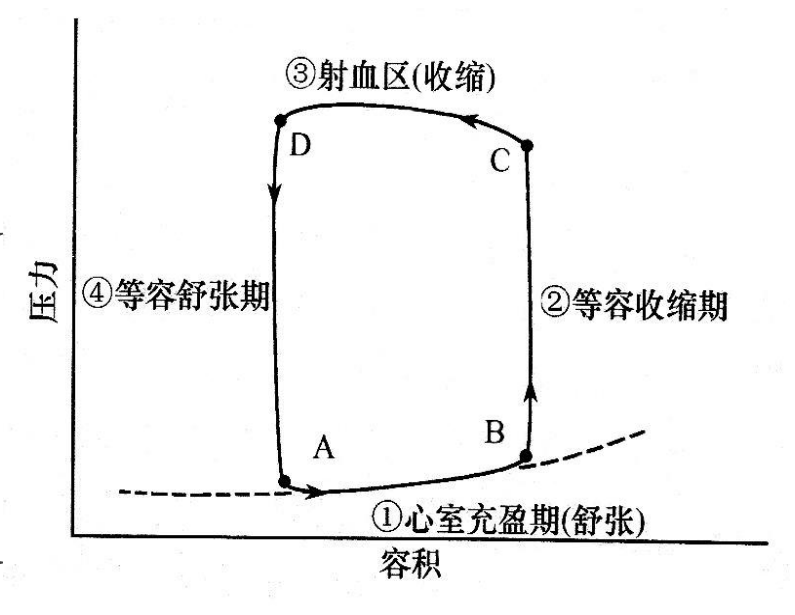
#### •心脏搏动的力学过程

◆1、心室充盈期 (AB):

心脏舒张,心肌松弛。积聚在心房和大静脉的血液迅速冲进心室。

◆2、等容收缩期 (BC):

心肌收缩,心室内压力迅速提高,在C点打开主动脉瓣。



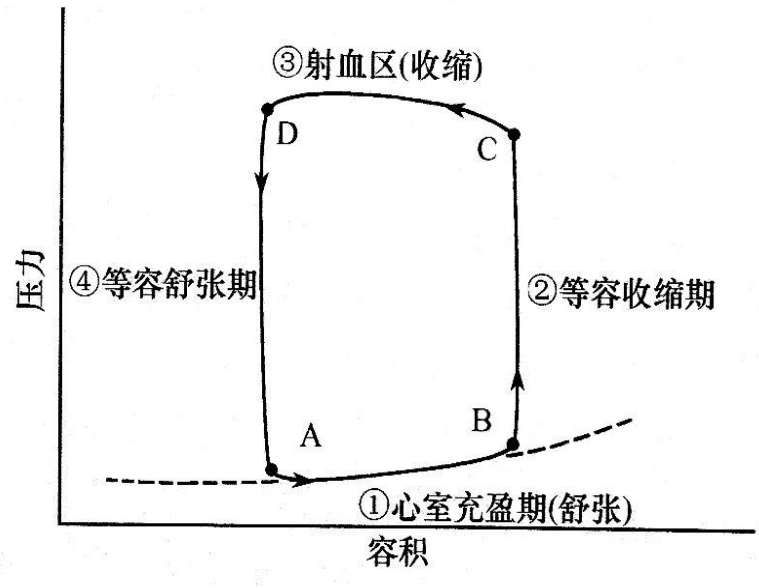
#### •心脏搏动的力学过程

◆3、射血期 (CD);

血液射入主动脉和肺动脉并很快达到最大速率。然后心室收缩力量和室内压开始减小,在 至 D处主动脉瓣关闭。

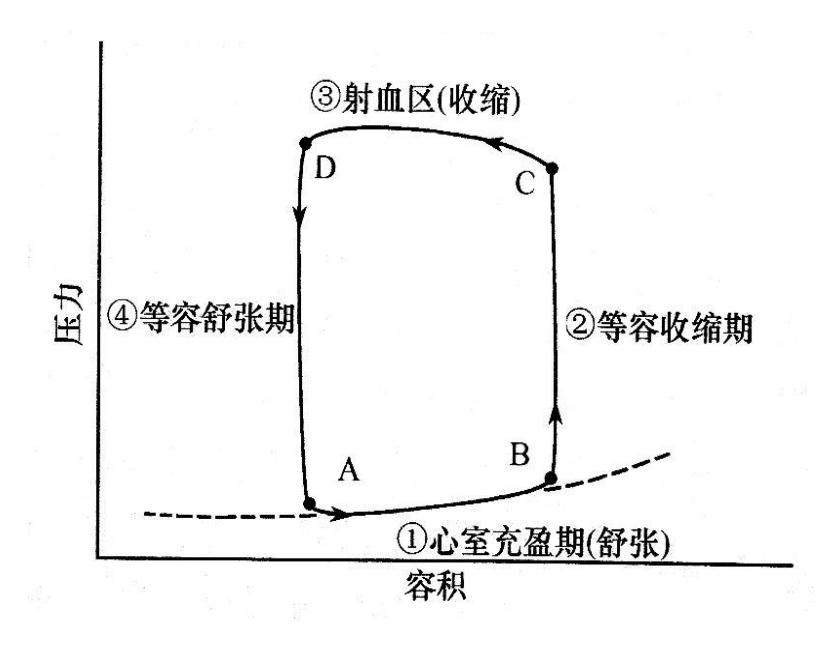
◆4、等容舒张期 (DA)。

心肌松弛,心室内压继续下降, 在A点房室瓣开放。



●心脏搏动的力学过程





- ●心脏泵功能的评价指标
  - ◆1、心输出量

指每分钟左心室或右心室射入主动脉或肺动脉的血量。

◆2、心脏指数

由心脏泵出的血容量(升/分钟)除以体表面积(平方米)得出的数值。

◆3、射血分数

每搏输出量占心室舒张末期容积量的百分比。

#### ●动脉的顺应性

- ◆动脉管壁富有弹性,当动脉管内的压力p增大时,动脉管会扩张,其容积V增大,动脉管的容积一般可表示为压力的函数V=V(p)。
- ◆为表征动脉管内压力与其管腔容积之间的关系,引入 动脉的顺应性(arterial compliance)作为指标。

$$C = \frac{dV}{dp}$$

#### ●动脉的顺应性

◆度量动脉可扩张能力的指标,它表示动脉内压力改变一个单位,对应的动脉管腔容积的变化量。动脉的顺应性C值越大,说明同一压力变化所引起的动脉管腔容积的变化量也越大。即动脉的可扩张能力越大。

$$C = \frac{dV}{dp}$$

#### ●动脉的顺应性

实验表明,不同种类的动物,由于其体态差异较大,对应于同一动脉管段的压力-容积曲线也有明显的差异。动脉的压力-容积之间的实验数据一般都可用指数函数 拟合..

$$V = ae^{bp} + D$$

不同种类的的生物,系数a会有明显区别,但系数b基本保持不变。

$$C = \frac{dV}{dp} = abe^{bp}$$

由于系数a,b都是负值,因此血压p越高,顺应性C越小。

#### ●动脉的顺应性

对应于血压p = 0的顺应性, $C_0$ 叫做零压顺应性。这是一个反映血管固有扩张能力的量。

表 3-2-2 不同种类动物的零压顺应性和系数 b[4]

	鼠(n=11)	兔(n=12)	狗(n=9)
体重(kg)	0.57	2.30	20.0
主动脉弓长(mm)	11.2	17.2	60.9
系数 b(mmHg)	-0.011	-0.010	- 0.009
零压顺应 性 C <sub>0</sub> (ml/mmHg)	0.003 9	0.012 0	0.349 6

注:n 为测量例数; 顺应性单位  $ml/mmHg = mm^3/(mm \times 13.6 \times 10^3 kg/m^3) = 7.5 \times 10^{-9} m^3/Pa$ 

#### ●圆管中的血液层流

由弹性圆管的定常层流解,可得p-Q的关系:

$$\frac{24c_2\eta L}{\pi R_0^4} Q = \frac{1}{[1 - c_2 p(0)]^3} - \frac{1}{[1 - c_2 p(L)]^3}$$

其中,
$$c_2 = \frac{R_0}{Eh}$$

这说明Q和压力p的关系是非线性的。

#### ●圆管中的血液层流

如果考虑管直径与压力为线性关系:

$$R(\mathbf{x}) = R_0 + \alpha p$$

边界条件x = 0时, $R(x) = R_0$ ,可得

$$-\frac{40\eta\alpha}{\pi}QL = R_0^5 - [R(L)]^5$$

由于R<sub>0</sub>>R(L),所以的变化对流量的影响远大于。即<u>进口</u>端变形的影响比出口端的影响要大得多。

#### ●血管中的紊流(湍流、乱流或扰流)

速度、压强等流动要素随时间和空间作随机变化, 质点轨迹曲折杂乱、互相混掺的流体运动。当<u>雷诺数</u>大, 意味着惯性占主要地位,流体呈紊流。相同流量下紊流 需要更高的压力。

雷诺数是一种可用来表征流体流动情况的无量纲数,以Re表示,  $Re=\varrho vr/\eta$ 

其中v、Q、η分别为流体的流速、密度与黏性系数,r为管道半径。 利用雷诺数可区分流体的流动是层流或湍流。

#### ●血管中波的传播

根据一维情况下的波动方程,血管中的波速取决于血管与血液的几何特性和材料特性:

$$c = \sqrt{\frac{Eh}{2\rho R}}$$

考虑液体流动,假定血管平衡半径及杨氏模量变化极小,可以忽略。则上下游波传播速度分别为:

$$c_{\mathrm{up}} = c - V$$
  $c_{\mathrm{down}} = c - V$   $v$ 为血液流速

- ●实际血管中血液流动需考虑的因素
  - ◆血管截面收缩的影响;
  - ◆管路进出口的影响;
  - ◆管路的弯曲;
  - ◆血液黏性和管壁粘弹性的影响;
  - ◆血流对血管壁的影响。

## 5.3 静脉中的血液流动

- ●静脉血流与动脉血流的不同
  - ◆血液在静脉内的压力低于同一高度动脉内的压力, 甚 至低于大气压力;
  - ◆血管壁较薄,管截面的面积变化与动脉相比较大;
  - ◆静脉流方向都是从外周流向心脏的;
  - ◆除腔静脉外,静脉内有瓣膜,以防止血液倒流;
  - ◆静脉血管的截面刚度较小,很容易被管外压力压塌, 会产生可塌陷管的失稳现象。

## 5.3 静脉中的血液流动

#### ●静脉血管在外压下的稳定性

忽略静脉截面几何变化的影响,由弹性稳定理论分析,对于长度比直径大得多的直圆管,不失稳的情况下所能承受的最大内外压差为:

$$\Delta p = \frac{Eh^3}{4(1-\mu^2)R^3}$$

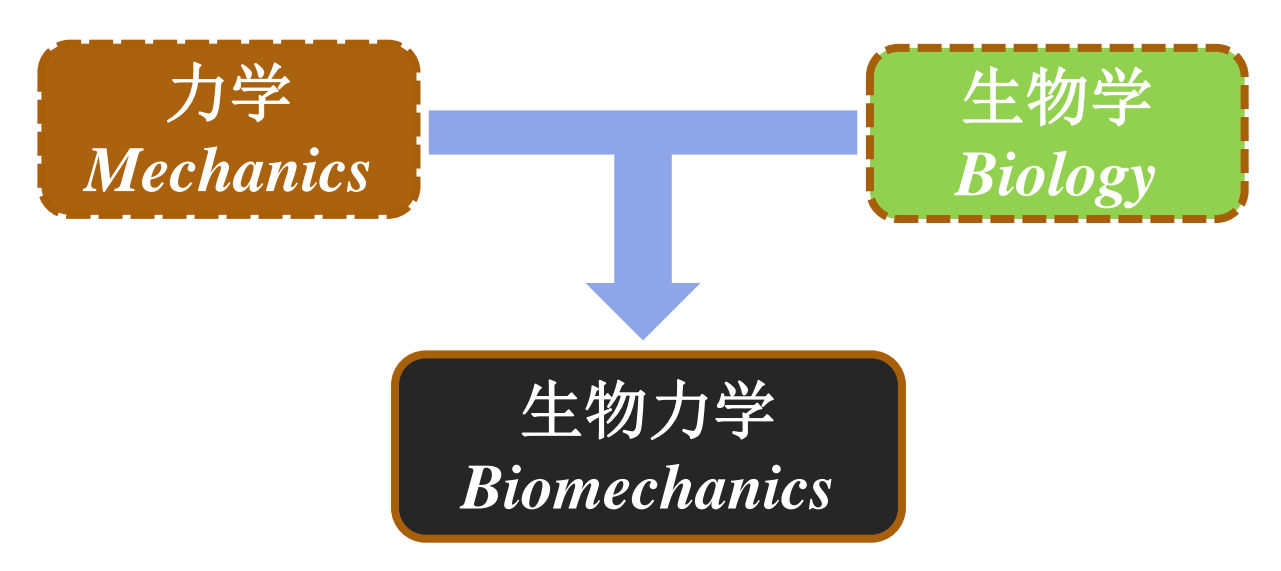
E为血管单向拉伸下的弹性模量, µ血管材料的泊松比, h血管壁厚度, R血管半径。

当血管承受压力大于△p时,血管就会出现塌陷。

### 幸 重 点 回 颜

#### 1. 生物力学的概念

- ●力学:研究物体变形和运动的科学。
- ●生物学:研究生命的生长和衰亡的科学。



应用力学的原理和方法研究生物体中的力学问题的科学

### 2. 生物力学的研究内容

#### 分类I:

●生物固体力学

骨,口腔,软组织等

- ●生物流体力学
  - 血液,组织液等
- ●生物材料力学
- ●运动生物力学

多刚体,体育,步态等

#### 分类II:

- ●心血管血流动力学
- 骨及软组织生物力学
- 口腔生物力学
- 细胞力学
- 康复工程中的生物力学

#### 3. 生物力学的研究方法

- ●应用解剖学确定研究对象的几何特征;
- ●应用材料力学的方法,确定研究对象的力学特性,给定本构关系(组织材料的变形和引起变形的力之间的函数关系,是材料的固有力学特性);
- ●建立力学模型,导出微分方程或微分一积分方程;
- ●给出解(解析、数值、近似解等);
- ●建立相应的实验方案,进行在体、离体实验;
- ●反复对比修正,以期得到有临床价值的结果。

### 4. 黏弹性的三个特点

- ●应力松弛(stress relaxation): 瞬间将物体拉伸一长度, 而后观察其力的变化。
- ●蠕变(creep): 瞬间施加一力到物体,并观察该物体长度的变化。
- ●滞后(hysteresis): 周期性的加载和卸载过程中,加载和卸载时应力应变曲线不重合。

#### 5. 血管的力学性质

- ●具有软组织的一般特性:应力松弛、蠕变、滞后等粘弹性。 性。
- 弹性模量随载荷或变形量的增加而加大。
- ●各向异性材料,周向抗载荷能力比轴向要强。

#### 6. 骨骼肌的力学特点

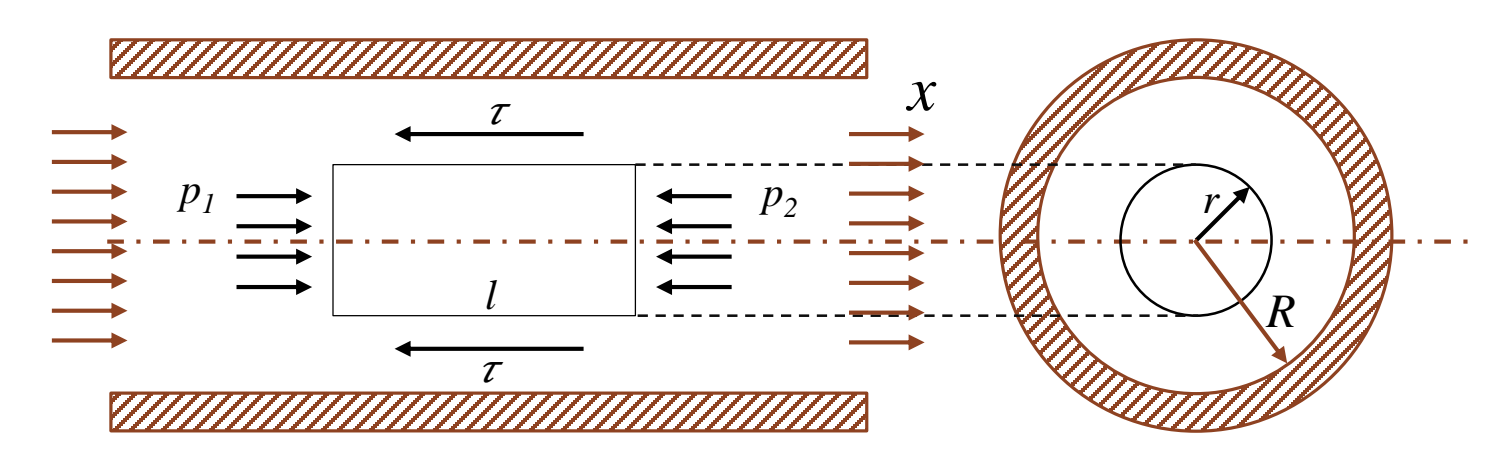
- ◆在电刺激或化学刺激下骨骼肌收缩产生张力。
- ◆其最大特点是<u>刺激频率越高,产生张力越大</u>。 当频率足够高时,张力达到最大值,这种状态 叫<u>挛缩</u>。
- ◆在松弛态下应力很小, 可忽略不计。

#### 7. 骨的力学性能特点

- ◆有生命
- ◆非均匀、各向异性的复合材料
- ◆接近于工程材料,用工程学方法分析骨的力学性能
- ◆骨的可塑性: 在生长、发育过程中, 由于各种条件的影响使得骨的形态有所改变。
- ◆骨的粘弹性: 在外力作用下, 骨产生的形变与时间相关。

### 8. 血液的流动性质

- ◆正常<u>血浆是牛顿流体</u>,黏度值通常为1.2cP。
- ◆由于血细胞的存在,血液的黏度随剪应变率的变化而变化,属于非牛顿流体。
- ◆剪应变率j增大,黏度η降低。
- ◆红血球浓度 (血球比H) 越大, 黏度n越高。



剪切力与压力平衡,可得:

$$\tau \cdot 2\pi r l = \tau A_1 = -\Delta p A_2 = -\frac{dp}{dx} l \cdot \pi r^2$$

因此, 半径r处的剪切力  $\tau = -\frac{r}{2}\frac{dp}{dx}$ 

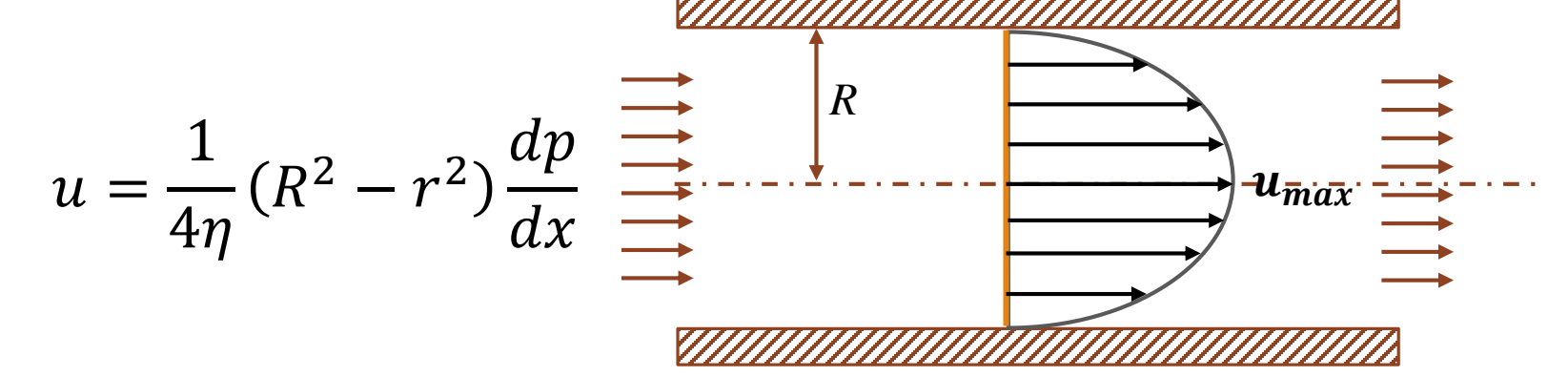
对于牛顿流体有, 
$$\tau = -\frac{r}{2}\frac{dp}{dx} = \eta \frac{du}{dr}$$

$$p$$
与 $r$ 无关,积分得,  $u = -\frac{r^2}{4\eta} \frac{dp}{dx} + C$ 

存在边界条件, 当r=R时,流速u=0,代入可得

$$u = \frac{1}{4\eta} (R^2 - r^2) \frac{dp}{dx}$$

牛顿流体的速度沿径向呈抛物线分布



当
$$r=0$$
时,

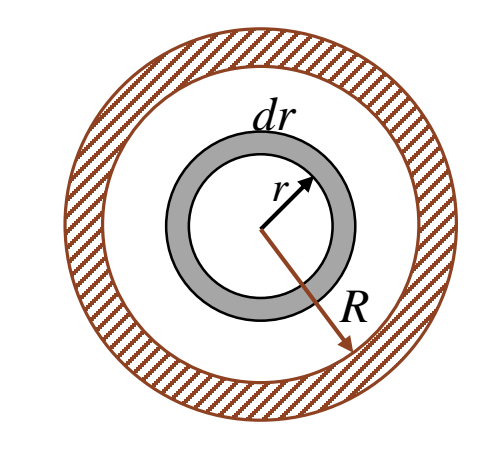
$$u_{max} = \frac{R^2}{4\eta} \frac{dp}{dx}$$

$$u对r$$
 求导,

$$\dot{\gamma} = \frac{du}{dr} = -\frac{r}{2\eta} \frac{dp}{dx}$$

流量Q为, 
$$Q = \int_0^R u \cdot 2\pi r dr$$

代入流速, 
$$u = \frac{1}{4\eta}(R^2 - r^2)\frac{dp}{dx}$$



计算可得: 
$$Q = \frac{\pi R^4}{8\eta} \frac{dp}{dx}$$

### 10. 心脏搏动的力学过程

- ◆心搏周期(cardiac cycle):心脏每收缩和舒张一次构成一个心动周期。一个心动周期中首先是两心房收缩,其中右心房的收缩略先于左心房。心房开始舒张后两心室收缩,而左心室的收缩略先于右心室。在心室舒张的后期心房又开始收缩。
- ◆一个心搏周期可分为4个时期:
  - 1、心室充盈期; 2、等容收缩期;
  - 3、射血期; 4、等容舒张期。

#### 11. 心脏泵功能的评价指标

◆1、心輸出量

指每分钟左心室或右心室射入主动脉或肺动脉的血量。

◆2、心脏指数

由心脏泵出的血容量(升/分钟)除以体表面积(平方米)得出的数值。

◆3、射血分数

每搏输出量占心室舒张末期容积量的百分比。

### 12.静脉血流与动脉血流的不同

- ◆血液在静脉内的压力低于同一高度动脉内的压力, 甚 至低于大气压力;
- ◆血管壁较薄,管截面的面积变化与动脉相比较大;
- ◆静脉流方向都是从外周流向心脏的;
- ◆除腔静脉外,静脉内有瓣膜,以防止血液倒流;
- ◆静脉血管的截面刚度较小,很容易被管外压力压塌, 会产生可塌陷管的失稳现象。